

# 中国图像工程:2008

章毓晋

(清华大学电子工程系,北京 100084)

**摘要** 该文是关于中国图像工程的年度文献综述系列之十四。为了使国内广大从事图像工程研究和图像技术应用的科技人员能够较全面地了解国内图像工程研究和发展的现状,并能够方便地查询有关文献,现从2008年在15种有关图像工程重要中文期刊的共120期上发表的3359篇学术研究和应用技术文献中,选取915篇属于图像工程领域的文献,并根据各文献的主要内容将其分别归入图像处理,图像分析,图像理解,技术应用和综述5个大类,然后进一步分入23个专业小类(与去年相同)。在此基础上还进行了各期刊各类文献的统计和分析。根据统计分析结果可看到,我国图像工程在2008年许多新进展的情况。特别值得指出的是,在上述15种期刊上所发表的图像工程文献数量在2008年继续增加并达到历史最高,显示了图像工程在中国继续蓬勃发展的趋势。

**关键词** 图像工程 图像处理 图像分析 图像理解 技术应用 文献综述 文献统计 文献分类

中图法分类号: TN911, TP391 文献标识码: A 文章编号: 1006-8961(2009)05-809-29

## Image Engineering in China: 2008

ZHANG Yu-jin

(Department of Electronic Engineering, Tsinghua University, Beijing 100084)

**Abstract** This is the fourteenth in the survey series of the yearly bibliographies on image engineering in China. The purpose of this survey work is mainly to capture the up-to-date development of image engineering in China, to provide a convenient means of literature searching facility for readers working in related areas, and to supply a useful reference for the editors of journals and potential authors of papers. Considering the wide distribution of related publications in China, 915 references on image engineering research and technique are selected carefully from 3359 research papers published in 120 issues of a set of 15 Chinese journals. These 15 journals are considered as important journals in which papers concerning image engineering have higher quality and are relatively concentrated. Those selected references are classified first into five categories (image processing, image analysis, image understanding, technique application and survey), and then into 23 specialized classes according to their main contents (same as last year). Some analysis and discussions about the statistics made on the results of classifications by journal and by category are also presented. This work shows a general and off-the-shelf picture of the various progresses of image engineering in China in 2008. It should be pointed out particularly that, in 2008 the number of research papers for image engineering, published in the above 15 journals still maintains an increasing quantity and reaches a new high stage in the history. A strong tendency of continuing development of image engineering in China is clearly visible.

**Keywords** image engineering, image processing, image analysis, image understanding, technique application, literature survey, literature statistics, literature classification

基金项目:国家自然科学基金项目(60872084);教育部高等学校博士学科点专项科研基金项目(SRFDP-20060003102)。

收稿日期:2009-03-02;改回日期:2009-03-20

第一作者简介:章毓晋(1954~),男,教授,博士生导师。1989年获比利时列日大学应用科学博士学位。主要研究方向为图像工程。

E-mail: zhangyj@ee.tsinghua.edu.cn, 主页: http://www.ee.tsinghua.edu.cn/~zhangyujin/

## 1 引言

图像工程是一个系统地研究各种图像理论,开发各种图像技术和使用各种图像设备的综合学科,主要可分成如下紧密联系又有区别的 3 个层次:图像处理,图像分析和图像理解<sup>[1]</sup>。近年来,图像工程的研究内容越来越深入,与越来越多学科的研究相结合,并得到越来越多(数学、物理、心理、生理等学科)的新理论和电子、计算机等专业学科技术的支持。图像技术的应用范围也已非常广泛,涉及到通信、教育、文档、生物、医学、遥感、测绘、军事、公安、交通、工业自动化和办公自动化等诸多领域。

从 1996 年开始,笔者逐年翻阅前一年发表在国内外一些重要中文期刊上有关图像工程研究应用的文献,并根据其内容进行了分类和统计,撰写成综述性文章(见文献[1]~[14])。这些文章构成了一个中国图像工程的年度文献综述系列。

本文是关于中国图像工程的年度文献综述系列之十四,本文从 2008 年刊载在国内 15 种重要期刊上的 3359 篇中文文献中(另有 97 篇英文文献未考虑),选出了 915 篇有关图像工程的文献,并对其进行了分类和统计(包括文献选取情况,刊物刊登情况和各类别数量情况),还结合分类和统计结果对 2008 年我国图像工程发展的热点和趋势进行了分析和讨论。

## 2 综述目的

当 2006 年该文献综述系列进入第 2 个 10 年时<sup>[12]</sup>,曾对该文献综述原先的 3 个主要目的<sup>[1-11]</sup>进行了讨论。下面仅将各目的的要点和讨论的结果概述如下:

### (1) 概括我国图像工程发展现状

众所周知,期刊是一类独具特色的信息载体。由于一门学科的重要期刊一般均刊载大量相关学科的信息,且水平较高,能够反映该学科的最新研究成果、进展以及前沿动态<sup>[15]</sup>,因此,通过对有关图像工程重要期刊上刊载文献的统计分析,不仅可以帮助人们了解我国图像工程研究和应用的总体情况,还能够为制定学科发展方向和研究策略提供科学的依据。

经过十多年的工作,这个目的仍没有改变。事

实上,科技界对期刊的关注和重视更加强了,期刊文献对图像工程研究和应用的牵引指导作用也更大了。同时由于本综述系列对学科发展趋势的分析判断与实际情况吻合<sup>[16]</sup>,且也在多年实践中得到了验证<sup>[11]</sup>,所以本综述系列的这个目的是达到了,而且会继续起到它的作用。

(2) 便利从事图像工程研究和图像技术应用的人员查阅有关文献

一门学科的重要期刊一般是受到该专业读者特别关注的期刊<sup>[15]</sup>。因为作为一门比较新兴的学科,图像工程内容新,覆盖面广,有关文献的内容涉及领域宽,文献的分布也比较广,所以通过对重要期刊上有关文献的归纳分类可以方便研究应用人员进行文献查阅,定期掌握专业动向,以达到共同发展我国图像工程事业的目的。

随着近年许多期刊上网,人们常借助关键词来搜索相关文献,而不再有规律地翻阅刊物。从这个角度来说,该系列帮助人们选择刊物的目的有一定的变化。然而需要指出,由专业人员通过阅读文献实现的归纳分类要比仅用关键词进行搜索准确可靠,特别是由于不同领域的作者有一些惯用的表述方式,使得许多技术内容相近的文献不能用同一个关键词来搜索,而用同一个关键词搜索到的文献在内容上常有很大的离散性。因此,对希望定期掌握专业动向的人员来说,该综述所提供的统计信息在查阅文献时仍有用且可靠。

### (3) 提供期刊编者和文献作者有用的参考信息

由于对期刊文献的统计结果可反映出当前有关该学科信息在各期刊中的分布状况<sup>[15]</sup>,因此对期刊的编者来说,据此可了解学科的进展情况,并从中确定期刊的学术地位、作用和发展策略;对文献的作者来说,由于发表科研文献的主要目的是宣传研究成果,促进技术交流,因此要关注刊物的学术权威性和领域重点,而本工作可对投稿起参考和导向作用。

这里参考信息是向两方面的人提供的。从期刊编者的角度来说,该综述仍然有助于确定期刊的学术地位、作用和发展策略;但从文献作者的角度来说,由于期刊上网和读者查阅期刊文献方式的变化,读者在查阅文献时并不一定首先注意到刊物的学术权威性和覆盖的专业领域,而作者在投稿时也会受到其他因素的影响。不过从深一些的层次思考这个问题,需要注意到,期刊文献总是由同行或相近专业

人员评审后才得以发表的。由于历史的原因和刊物的性质,各刊物的审稿人还有许多专业特点,或者说他们的研究领域还是有所侧重的。如果投稿者考虑到上述情况,选择恰当的刊物,就有望使稿件得到密切相关领域专家的评审,反馈的信息将会更有意义。另外,该工作对揭示我国图像工程科技人员的水平,现状和变化的研究也打下了很好的基础<sup>[17]</sup>。

### 3 刊物选取

图像工程涉及范围广泛,研究发展迅速,相关刊物比较多,文献分布也比较广。在过去的10多年中,综述对刊物选取的基本原则一直保持一致<sup>[1-14]</sup>,主要是:

(1)读者较多:均为发行比较广泛的国内中文一次文献期刊;

(2)水平较高:多为国内一级学会的会刊,其他也是相关专业领域中重要的二级学会会刊;

(3)信息较多:指刊物内有关图像工程的文献比较集中,一般平均每期多在两篇以上。

根据上述原则选出并认定的15种刊物已被称为中国图像工程重要期刊<sup>[5]</sup>。本综述系列也一直选取这些期刊作为文献源<sup>[1-14]</sup>。近年来,随着图像工程的迅速发展,相关的新刊物时有出现,而且一些原来侧重于其他研究领域和专业方向的期刊上也开始刊登了不少有关图像工程的文献。但是考虑到本

表1 刊物名称和代号表

Tab.1 Selected journals and their abbreviations

序号	代号	刊物名称
1	[CT]	《CT理论与应用研究》
2	[CX]	《测绘学报》
3	[DC]	《电子测量与仪器学报》
4	[DX]	《电子学报》
5	[DxX]	《电子与信息学报》
6	[JX]	《计算机学报》
7	[MR]	《模式识别与人工智能》
8	[SC]	《数据采集与处理》
9	[TX]	《通信学报》
10	[XC]	《信号处理》
11	[YX]	《遥感学报》
12	[ZS]	《中国生物医学工程学报》
13	[ZTi]	《中国电视学与图像分析》
14	[ZTu]	《中国图象图形学报》
15	[ZX]	《自动化学报》

综述系列的连续性和统计的一致性,以及这些中国图像工程重要期刊本身的发展情况,今年所选取的期刊仍与历年本综述系列选取的期刊完全相同<sup>[1-14]</sup>,其刊名仍根据所给的缩写代号统一按拼音顺序排列如表1所示。

与去年相比,这15种刊物虽由多个不同单位(学会或机构)主办,但均基本保持了原来的覆盖领域和出版风格。除《模式识别与人工智能》仍仅有印刷版外,其余14种刊物上的文献都可以通过“中国期刊网”或“万方数据库”查到全文。

### 4 文献选取和分类

本文只从上述15种期刊上选取了其中有关图像工程的文献,其选取的基本原则与本综述系列前13年的原则<sup>[1-14]</sup>仍一致,这些原则主要是:

(1)以中文发表的(各刊上用英文写的文献和直接从外文翻译的译文没有参与统计)、主要报道国内工作的文献;

(2)属于学术论文、研究简报、研究通信、技术应用等介绍图像工程最新研究成果与应用进展的文献(没有包括诸如科普普及类型和介绍性讲座类型的文献);

(3)作为年度综述系列,本文只选取在2008年出版的期刊(除去增刊<sup>[3]</sup>)上发表的文章。

图像工程文献涉及内容多,覆盖面广,合理的文献分类方案至关重要。本文仍采用了本综述系列一贯的分类方案,即首先把所有文献分成图像处理、图像分析、图像理解、技术应用和综述评论5大类;然后在每大类中再根据文献内容的主要技术特点或应用领域进一步分成小类<sup>[1-14]</sup>。本综述系列前5年均包含18个小类<sup>[1-6]</sup>,考虑到进入新世纪后图像工程研究出现的一些新热点,所以对2000年的综述开始,在继承本系列分5大类的格局基础上,在图像处理、图像分析和图像理解3大类中每类各增加了1个小类(分别为A5, B5, C4),所以本综述系列第2个5年中均有21个小类<sup>[7-11]</sup>。从对2005年的综述开始,本系列进入第2个10年,结合图像工程研究和应用的进展在图像处理和图像理解两大类中每类各增加了1个小类(分别为A6, C5),达到了23个小类<sup>[12]</sup>。本文与前3年相同<sup>[12-14]</sup>,也分23个小类,具体对文献的分类情况和各类所用代号如表2所示。

表 2 文献分类表

Tab. 2 Classification scheme for publications

大类	名称	小类	名称和主要内容
A	图像处理	A1	图像采集(包括各种成像方法、获取及存储、摄像机校正等)
		A2	图像重建(从投影等重建图像)
		A3	图像增强和恢复等(包括变换、滤波、复原、校正等)
		A4	图像(视频)压缩编码(包括算法研究、国际标准实现等)
		A5	图像数字水印和图像信息隐藏
		A6	图像多分辨率处理(超分辨率重建、图像分解和插值、分辨率转换等)
B	图像分析	B1	图像分割,边缘和角点(感兴趣点/控制点)检测
		B2	目标表达、描述、测量(包括二值图处理分析等)
		B3	目标特性(颜色、纹理、形状、空间、运动等)的分析
		B4	目标检测和识别(目标 2 维定位、提取和分类等)
		B5	人体生物特征提取和验证(包括人脸和器官的检测、定位与识别)
C	图像理解	C1	图像匹配和融合等(包括序列、立体图的配准、镶嵌等)
		C2	场景恢复(3 维表达、建模、重构或重建等)
		C3	图像感知和解释(包括语义描述、信息模型、专家系统,机器学习、推理等)
		C4	基于内容的图像和视频检索
		C5	时空技术(3 维运动分析,姿态检测,对象跟踪,行为判断和理解)
D	技术应用	D1	硬件,系统和快速(/并行)算法
		D2	通信、视频传输(包括电视、网络、广播等)
		D3	文档(包括文字、数字、符号等)
		D4	生物、医学
		D5	遥感、雷达、测绘
		D6	其他(不在以上各类的应用)
E	综述评论	E1	综述(概括图像处理/分析/理解,或综合新技术)

## 5 文献分类统计结果和讨论

根据上述的刊物和文献选取原则,本文从 2008 年出版的 15 种期刊(共 120 期)上所发表的 3 359 篇文章中,选出了与图像工程有关的 915 篇文章。然后,根据如表 2 所列的文献分类方案将这些文献全部分到 5 个大类,并进一步分到 23 个小类中。需要指出,虽然有些文献的内容可能与几个小类均相关,但本文一般根据该文献的主要研究内容或主要技术观点而仅归入一个小类(概括不同大类的综合文献目前都归在 E 类中,且因文献数量不多,只分了 1 个 E1 小类)。下面从粗到细分 3 种情况(3 个层/级/档)来介绍、分析和讨论分类统计的结果。

### 5.1 14 年图像工程文献选取和分类概况比较

表 3 给出从综述系列开始以来共 14 年间对前述 15 个刊物所登载的文献的数量(文献总数)、所选取的图像工程文献的数量(选取总数)和选取率以及对所选文献分 5 大类统计得到的结果。其中,小计和平均都是对 14 年进行的,5 个分类栏中括号内的数据为该文献数量在(当年)总选取文献数量中所占的比例。

从表 3 的统计数据可以看出以下特点:

(1)2008 年的文献总数比 2007 年的文献总数仍有一些增加,达到了历史新高。有两点原因可以指出:一方面,《数据采集与处理》调整了出刊周期,由季刊改为了双月刊,使该年度所统计的总期数达到 120 期;另一方面,《中国图象图形学报》每期又增加了 12 页,使得刊物总容量有所增加。目前该综

表3 近14年图像工程文献选取和分类表

Tab.3 Summary and categorization of image engineering publications over the last 14 years

年度	文献总数	选取总数	选取率(%)	图像处理	图像分析	图像理解	技术应用	综述评论
1995	997	147	14.74	35(23.8%)	52(35.4%)	14(9.52%)	46(31.3%)	
1996	1 205	212	17.59	52(24.5%)	72(34.0%)	30(14.2%)	55(25.9%)	3(1.42%)
1997	1 438	280	19.47	104(37.1%)	76(27.1%)	36(12.9%)	60(21.4%)	4(1.43%)
1998	1 477	306	20.72	108(35.3%)	96(31.4%)	28(9.15%)	71(23.2%)	3(0.98%)
1999	2 048	388	18.95	132(34.0%)	137(35.3%)	42(10.8%)	73(18.8%)	4(1.03%)
2000	2 117	464	21.92	165(35.6%)	122(26.3%)	68(14.7%)	103(22.2%)	6(1.29%)
2001	2 297	481	20.94	161(33.5%)	123(25.6%)	78(16.2%)	115(23.9%)	4(0.83%)
2002	2 426	545	22.46	178(32.7%)	150(27.5%)	77(14.3%)	135(24.8%)	5(0.92%)
2003	2 341	577	24.65	194(33.6%)	153(26.5%)	104(18.0%)	119(20.6%)	7(1.21%)
2004	2 473	632	25.60	235(37.2%)	176(27.8%)	76(12.0%)	142(22.5%)	3(0.47%)
2005	2 734	656	23.99	221(33.7%)	188(28.7%)	112(17.1%)	131(20.0%)	4(0.61%)
2006	3 013	711	23.60	239(33.6%)	206(29.0%)	116(16.3%)	143(20.1%)	7(0.98%)
2007	3 312	895	27.02	315(35.2%)	237(26.5%)	142(15.9%)	194(21.7%)	7(0.78%)
2008	3 359	915	27.24	269(29.4%)	311(34.0%)	130(14.2%)	196(21.4%)	9(0.98%)
小计	31 237	7 209		2 408(33.4%)	2 099(29.1%)	1 053(14.6%)	1 583(22.0%)	66(0.92%)
平均	2 231	515	23.08	172	150	75	113	4.7

述14年所统计的15种刊物的文献总数已超过了30 000篇。

(2) 2008年选取到的图像工程文献总数比2007年继续有所增加,这是2008年的文献总数如上所述继续增加与2008年的选取率又创了历史新高的共同结果。如果仅考虑进入21世纪后的这几年的文献选取率,则其平均值基本上达到了1/4。如多次在综述系列中指出的,这既是图像工程方面的研究成果和投稿数量历年都在不断增加的结果,也是图像工程学科蓬勃发展的一个明证。

(3)从几个大类文献数量的变化情况来看,2008年的最大特点就是图像分析的文献数量比上一年有很大增加(具体的分析见下节),时隔10年之后又一次超过总选取文献数量的1/3。不过,图像处理大类的文献数量比上一年有一定减少,从1996年后第一次降到总选取文献数量的30%以下。

## 5.2 2008年各刊图像工程文献刊载情况

表4给出了对各刊2008年文献选取情况和分5大类统计的具体结果。表4中,选取期数和文献总数的含义一目了然;选取数量是指从文献总数中选取的图像工程文献的数量;选取比例是指从各刊所选取的图像工程文献数与该刊(所选取的)文献总数的比;文献比例则是指从该刊中选取的文献数

在从所有15种期刊中选取的文献总数里所占的比例。另外,表中分类栏按5大类分成了5列,从中可看出各刊物的主要覆盖领域范围。

对表4的统计数据可以进行以下几方面的分析:

(1)从选取的期刊期数来看,在2008年,《数据采集与处理》通过改季刊为双月刊而多出版了2期(所以2008年的选取期数为120期)以外,还出了一期增刊。另外,《通信学报》在2008年也出了两期增刊。

(2)各刊的选取比例给出了2008年这一年度内该刊刊载的有关图像工程文献的相对频度,在一定程度上反映了该刊覆盖专业范围中图像工程学科所占的比例。由表4可见,一直占据榜首的《中国图象图形学报》的选取比例仍最大(并第1次超过了4/5)。这个事实表明,《中国图象图形学报》是图像工程的最专门的刊物。其他在该年选取比例较高的刊物(与2007年刊物相同但次序不同)依次为《CT理论与应用研究》,《中国体视学与图像分析》,《模式识别与人工智能》和《数据采集与处理》,均超过30%。

(3)期刊载文量是对科技期刊在科学活动和文献交流中所起作用及其质量进行评价常用的7个指

表 4 各刊 2008 年图像工程文献选取分类一览表

Tab. 4 Summary of selected image engineering publications in 2008 over 15 journals

期刊名称	选取 期数	文献 总数	选取 数量	选取比 例(%)	分类					文献比 例(%)
					A	B	C	D	E	
CT 理论与应用研究	4	40 <sup>(1)</sup>	21	52.5	14	2	1	3	1	2.23
测绘学报	4	87 <sup>(2)</sup>	18	20.7	3	5	4	6		1.97
电子测量和仪器学报	6	144	21	14.6	6	6	2	7		2.23
电子学报	12	458	82	17.9	26	30	11	13	2	8.96
电子与信息学报	12	710	116	16.3	34	34	11	37		12.68
计算机学报	12	213 <sup>(3)</sup>	24	11.3	4	3	8	8	1	2.62
模式识别与人工智能	6	130	47	36.2	1	36	4	6		5.14
数据采集与处理	6 <sup>(4)(5)</sup>	149	46	30.9	8	13	4	21		5.03
通信学报	12 <sup>(6)</sup>	265	20	7.6	13	1	1	5		2.19
信号处理	6	234	56	23.9	21	21	5	9		6.12
遥感学报	6	131 <sup>(7)</sup>	32	24.4	3	7	2	20		3.50
中国生物医学工程学报	6	176	38	21.6	6	8	2	21	1	4.15
中国体视学与图像分析	4	56 <sup>(8)</sup>	23	41.1	6	4	3	9	1	2.51
中国图象图形学报	12	387 <sup>(9)</sup>	325	83.1	114	118	62	28	3	35.52
自动化学报	12	179 <sup>(10)</sup>	46	25.7	10	23	10	3		5.03
小计	120	3 359	915		269	311	130	196	9	

注:(1)该刊另有 3 篇英文文献没有参与统计;(2)该刊另有 1 篇英文文献没有参与统计;(3)该刊另有 19 篇英文文献没有参与统计;(4)该刊 2008 年由季刊改为双月刊;(5)该刊另有增刊一期没有参与统计;(6)该刊另有增刊二期没有参与统计;(7)该刊另有 1 篇英文文献没有参与统计;(8)该刊另有 5 篇英文文献没有参与统计;(9)该刊另有 4 篇英文文献没有参与统计;(10)该刊另有 64 篇英文文献没有参与统计。

标中的第 1 个<sup>[18]</sup>。表 4 中的各刊的文献比例正对应该刊在(所有刊物的)图像工程文献载文中所占的比例。它们代表了各刊有关图像工程文献的相对集中度,在一定程度上体现了该刊对图像工程发展所起的作用和所做的贡献。从这个意义上讲,这个比例很值得重视。由表 4 可见,《中国图象图形学报》的文献比例仍与前些年<sup>[3-14]</sup>一样保持最大(超过 1/3)。这说明《中国图象图形学报》在反映我国图像工程领域研究的进展,报道该领域科技的成果等方面都起到了重要的作用;并为从事图像工程研究、开发和应用的 人员提供了互相交流的最集中场所<sup>[19]</sup>。其他两个文献比例较高的刊物与 2007 年相同,依次为《电子与信息学报》和《电子学报》,均为信息领域比较侧重学术研究的刊物。

(4)根据文献离散律<sup>[18]</sup>,有关某一学科的学术文献会大量地集中在为数不多的刊物上,而其余少量文献则分散在较多的其他刊物上。从 2008 年的数据看,图像工程文献的分布也符合这个规律。由

表 4 中各刊的选取数量或文献比例可见,发表在有最高文献集中率的前 3 种刊物,即《中国图象图形学报》,《电子与信息学报》和《电子学报》上的有关文献的数量占了所有 15 种刊物的有关文献的 57.2%(比 2007 年还高),或者说这约 1/5 数量的刊物发表了超过 1/2 数量的文献。

### 5.3 2008 年各刊图像工程文献详细分类情况

科技论文的发表是科研人员研究成果的一种体现,所以各类文献的数量在相当范围内反映了不同领域相关研究所受到的关注程度,也对研究所取得的成果有一定的衡量作用。表 5 给出了对 2008 年各刊所选文献进一步按表 2 所列 23 小类进行分类统计的详细结果。

为更方便和直观地看出各小类文献数量的分布情况,图 1 给出了以直方图的形式来表示表 5 中 23 小类的分类统计结果。

通过对表 5 和图 1 统计数据分析和与前几年对应数据<sup>[1-14]</sup>的比较可以看出:

表 5 2008 年图像工程文献分小类统计细表

Tab.5 Detailed classifications of selected image engineering publications in 2008 over 15 journals

期刊代号	A1	A2	A3	A4	A5	A6	B1	B2	B3	B4	B5	C1	C2	C3	C4	C5	D1	D2	D3	D4	D5	D6	E1	
[CT]	3	11					1	1				1								1		2	1	
[CX]	2		1				1			4		4											6	
[DC]			2	2	2		5			1				1	1		1				2		4	
[DX]			14	2	7	3	9	2	11	2	6	5	2		4		2	3			3	3	2	2
[DxX]	4	1	11	7	3	8	11		3	11	9	6		1	4		2	2	2				31	
[JX]	1		1	1		1				3		4			4		3	2			2	1		1
[MR]			1				16		2	4	14				4				6					
[SC]	2		1	3	2		3	1	3	1	5	2			2		5	1	5	2	7	1		
[TX]			4	9			1					1						4						1
[XC]	5		6	2	6	2	5		3	9	4	2			1	2	1	1					7	
[YX]	1		1		1		6			1		2											20	
[ZS]	2	4					7				1	2					1				20			1
[ZTi]		3	1	2			2	1	1			2	1				3				4	1	1	1
[ZTu]	6	6	42	29	24	7	38	5	3	46	26	31	7	3	16	5	2	6	3	3	3	3	11	3
[ZX]	2		1	1	6		6	5	1	6	5	7			2	1				1			2	
小计	28	25	82	53	60	21	111	15	27	88	70	69	10	5	38	8	20	19	17	37	80	23	9	

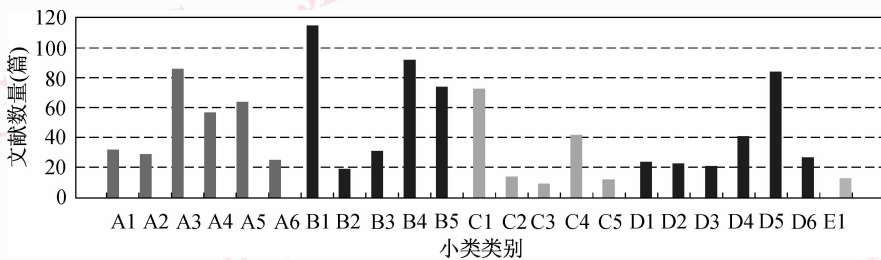


图 1 对 23 小类进行文献分类的结果

Fig.1 Classifications of selected publications in 23 classes

(1)2008 年与 2007 年相同,在各小类文献数量中排名第 1 的仍是“B1:图像分割和边缘检测”小类,且比 2007 年有超过 20% 的增加。正如前几年已讨论过的,对图像分割的研究“经久不衰”,除反映了这个由图像处理进到图像分析的关键步骤在图像工程中所占据的重要位置和在当前图像技术应用中的突出作用外,也在一定程度上表明该方面的工作有相当的难度和挑战性。事实上,尽管对图像分割的研究已取得了许多成果<sup>[20]</sup>,但还有许多需要解决的问题,且更广泛的研究正在深入开展<sup>[21]</sup>。

(2)2008 年与 2007 年不同,在各小类文献数量中排名第 2 的改为了“B4:目标检测和识别”(由 2007 年的第 6 而来)。另外,与此密切相关的“B5:人体生物特征提取和验证”在 2008 年的各小类文献数量中排名第 5(由 2007 年的第 7 而来)。其中多数文献是有关人脸识别的,一些基本原理和具体方法可见文献[22]。

(3)在 2007 年各小类文献数量中排名第 2 的“A3:图像增强和恢复等”小类,在 2008 年排在了第 3。不过虽然排名下降,但实际上文献数量仍有

增加。

(4)在图像工程中,理论研究与技术应用密切相关。在2008年,技术应用小类“D5:遥感、雷达、测绘”的文献数量不仅达到了历史新高,而且在各小类文献数量中的排名也达到了第4。综合与其密切相关的图像理解小类“C1:图像匹配融合等”(文献数量排名第6)可见,遥感图像方面的研究和应用是近年图像工程的一个重点。

(5)其他小类中,小类“A5:图像数字水印和图像信息隐藏”和“A4:图像(视频)压缩编码”2008年分别排在第7和第8位。其绝对数量均比2007年有所下降。而小类“C4:基于内容的图像和视频检索”的文献数量比去年继续增加,达到了排名第9,其内容不仅覆盖了典型的研究方向<sup>[23]</sup>,且更多地体现在基于语义的研究方面<sup>[24]</sup>。

(6)2008年小类文献数量分布的一个特点是,排名前10位的小类和排名后10位的小类有明显区别,多的更多而少的更少。这里的含义还需看接下来的变化来判断。

(7)考虑表5的各行,它反映了各刊所选图像工程文献的类别。在表5中,2008年仍然只有《中国图象图形学报》上所载的文献覆盖了图像工程的所有分支,而其他刊物还是有其不同的领域侧重和专业特色的。虽然在这里考虑的15种期刊中,《中国图象图形学报》是最年轻的1种,但事实上,对该刊洛特卡分布参数的统计分析表明,它已是一个比较成熟的刊物了<sup>[25]</sup>。所以,它对图像工程所有分支的覆盖对图像工程的发展非常有利。

## 6 结 论

本文是关于中国图像工程的年度文献综述系列之十四。文中先根据该综述系列一贯的期刊选取以及文献选取和分类原则,对2008年在中国图像工程重要期刊上发表的有关文献进行了选取、分类、统计、分析和讨论。从对统计结果的分析以及与综述系列以前相关数据<sup>[1-14]</sup>的综合比较可以看出,图像工程的研究和应用在我国又有了许多新的进展。有些主要研究热点也有一定的变化。另外,从该文中除了可以了解当前我国图像工程研究和应用的总体情况,也可建立对学科的全面认识并找到制定学科发展方向的一些具体依据。

本综述系列除对中国图像工程的发展起到了一

定的推动和引导作用外,还促进了一些相关领域综述系列的产生。这个工作对揭示我国图像工程科技人员的水平,现状和变化的研究也打下了很好的基础<sup>[17]</sup>。所以,虽然这个工作随着文献数量的增加,工作量也迅速增加,而且需要大量的手工投入(自动化类似工作的尝试表明,尽管其中有些步骤可以借助计算机来进行,但人工的检验和校正对保证质量仍是必不可缺的<sup>[26]</sup>),但却是很有意义的。对中国图像工程不断发展前进的新“图像”将会继续描绘下去。

## 参考文献 (References)

- 1 Zhang Yu-jin. Image engineering in China: 1995 [J]. Journal of Image and Graphics, 1996, 1(1): 78-83. [章毓晋. 中国图像工程: 1995 [J]. 中国图象图形学报, 1996, 1(1): 78-83.]
- 2 Zhang Yu-jin. Image engineering in China: 1995(Supplement) [J]. Journal of Image and Graphics, 1996, 1(2): 170-174. [章毓晋. 中国图像工程: 1995(续) [J]. 中国图象图形学报, 1996, 1(2): 170-174.]
- 3 Zhang Yu-jin. Image engineering in China: 1996 [J]. Journal of Image and Graphics, 1997, 2(5): 336-344. [章毓晋. 中国图像工程: 1996 [J]. 中国图象图形学报, 1997, 2(5): 336-344.]
- 4 Zhang Yu-jin. Image engineering in China: 1997 [J]. Journal of Image and Graphics, 1998, 3(5): 404-414. [章毓晋. 中国图像工程: 1997 [J]. 中国图象图形学报, 1998, 3(5): 404-414.]
- 5 Zhang Yu-jin. Image engineering in China: 1998 [J]. Journal of Image and Graphics, 1999, 4(5): 427-438. [章毓晋. 中国图像工程: 1998 [J]. 中国图象图形学报, 1999, 4(5): 427-438.]
- 6 Zhang Yu-jin. Image engineering in China: 1999 [J]. Journal of Image and Graphics, 2000, 5A(5): 359-373. [章毓晋. 中国图像工程: 1999 [J]. 中国图象图形学报, 2000, 5A(5): 359-373.]
- 7 Zhang Yu-jin. Image engineering in China: 2000 [J]. Journal of Image and Graphics, 2001, 6A(5): 409-424. [章毓晋. 中国图像工程: 2000 [J]. 中国图象图形学报, 2001, 6A(5): 409-424.]
- 8 Zhang Yu-jin. Image engineering in China: 2001 [J]. Journal of Image and Graphics, 2002, 7A(5): 417-433. [章毓晋. 中国图像工程: 2001 [J]. 中国图象图形学报, 2002, 7A(5): 417-433.]
- 9 Zhang Yu-jin. Image engineering in China: 2002 [J]. Journal of Image and Graphics, 2003, 8A(5): 481-498. [章毓晋. 中国图像工程: 2002 [J]. 中国图象图形学报, 2003, 8A(5): 481-498.]
- 10 Zhang Yu-jin. Image engineering in China: 2003 [J]. Journal of Image and Graphics, 2004, 9(5): 513-531. [章毓晋. 中国图像工程: 2003 [J]. 中国图象图形学报, 2004, 9(5): 513-531.]
- 11 Zhang Yu-jin. Image engineering in China: 2004 [J]. Journal of Image and Graphics, 2005, 10(5): 537-560. [章毓晋. 中国图像工程: 2004 [J]. 中国图象图形学报, 2005, 10(5): 537-560.]
- 12 Zhang Yu-jin. Image engineering in China: 2005 [J]. Journal of Image and Graphics, 2006, 11(5): 601-623. [章毓晋. 中国图像工程: 2005 [J]. 中国图象图形学报, 2006, 11(5): 601-623.]

- 13 Zhang Yu-jin. Image engineering in China: 2006 [J]. Journal of Image and Graphics, 2007, **12**(5): 753-775. [章毓晋. 中国图像工程: 2006 [J]. 中国图象图形学报, 2007, **12**(5): 753-775.]
- 14 Zhang Yu-jin. Image engineering in China: 2007 [J]. Journal of Image and Graphics, 2008, **13**(5): 825-852. [章毓晋. 中国图像工程: 2007 [J]. 中国图象图形学报, 2008, **13**(5): 825-852.]
- 15 Lin Bei-dian, Zhang Qi-su. A Guide to the Core Journals of China [M]. Beijing: Beijing University Publishers, 1996. [林被甸, 张其苏. 中文核心期刊要目总览[M]. 北京: 北京大学出版社, 1996.]
- 16 Zhang Yu-jin. Image engineering in China and some current research focus [J]. Journal of Computer-aided Design and Graphics, 2002, **14**(6): 489-500. [章毓晋. 中国图像工程及当前的几个研究热点[J]. 计算机辅助设计与图形学学报, 2002, **14**(6): 489-500.]
- 17 Zhang Yu-jin, Li Rui. Statistical analysis on the authors of paper cited in the survey series "image engineering in China" [J]. Journal of Image and Graphics, 2001, **6A**(1): 1-5. [章毓晋, 李睿. 对“中国图像工程”综述系列里文献作者的统计分析[J]. 中国图象图形学报, 2001, **6A**(1): 1-5.]
- 18 Ding Xue-dong. Fundamentals of Literature Metrology [M]. Beijing: Beijing University Publishers, 1993. [丁学东. 文献计量学基础[M]. 北京: 北京大学出版社, 1993.]
- 19 Zhang Yu-jin, Hu Feng. Ten years' statistical analysis on the articles and authors of "Journal of Image and Graphics" since its first publication [J]. Journal of Image and Graphics, 2006, **11**(1): 1-7. [章毓晋, 胡峰. 对《中国图象图形学报》创刊10年来文章和作者的统计分析[J]. 中国图象图形学报, 2006, **11**(1): 1-7.]
- 20 Zhang Yu-jin. Image Segmentation [M]. Beijing: Science Publishers, 2001. [章毓晋. 图像分割[M]. 北京: 科学出版社, 2001.]
- 21 Zhang Yu-jin (ed.). Advances in Image and Video Segmentation [M]. Hershey, Philadelphia, USA: IRM Press, 2006.
- 22 Zhang Yu-jin. Subspace-Based Face Recognition [M]. Beijing: Tsinghua University Press, 2009. [章毓晋. 基于子空间的人脸识别[M]. 北京: 清华大学出版社, 2009.]
- 23 Zhang Yu-jin. Content-based Visual Information Retrieval [M]. Beijing: Science Publishers, 2003. [章毓晋. 基于内容的视觉信息检索[M]. 北京: 科学出版社, 2003.]
- 24 Zhang Yu-jin (ed.). Semantic-Based Visual Information Retrieval [M]. Hershey, Philadelphia, USA: IRM Press. 2007.
- 25 Zhang Yu-jin, Ma Jing. Statistic analysis of lotka's parameters for "Chinese Journal of Image and Graphics" [J]. Journal of Image and Graphics, 2007, **12**(5): 776-781. [章毓晋, 马婧. 对《中国图象图形学报》之洛特卡分布参数的统计分析. 中国图象图形学报, 2007, **12**(5): 776-781.]
- 26 Rosenfeld A. Classifying the literature related to computer vision and image analysis [J]. Computer Vision and Image Understanding, 2000, **79**(2): 308-323.

## 附录: 本文统计的文献(共 915 篇) 分类一览

同类中的文章按作者姓名之拼音排序, 同拼音者再按笔划排序。

为节省篇幅, 作者多于 3 人仅列前 3 人(后加“等”字), 刊名用文中缩写代号(见表 1), 发表年份(2008)均省略。

### A: 图像处理(共 269 篇)

#### A1: 图像采集(28 篇)

- 安道祥, 黄晓涛, 王亮. UWB SAR 图像的非均匀分段 PGA 算法. XC, **24**(6): 931-935.
- 陈琦, 杨汝良. 机载前视合成孔径雷达 Chirp Scaling 成像算法研究. DxX, **30**(1): 228-232.
- 陈义, 陆珏, 郑波. 近景摄影测量中大角度问题的探讨. CX, **37**(4): 458-463.
- 崔夏荣, 苏光大. 数字图像与数码相机噪声相关性的分布. ZTu, **13**(6): 1071-1076.
- 丁飞, 陈志强, 黄志峰等. X 射线衍射增强成像的折射角信息提取算法综述. CT, **17**(3): 27-35.
- 董秀珍. 生物电阻抗成像研究的现状与挑战. ZS, **27**(5): 641-643.
- 盖绍彦, 达飞鹏. 基于数字投影仪的光栅相位自校正方法. ZX, **34**(11): 1363-1368.
- 高贵, 张军, 吕信明等. SAR 图像乘性噪声模型分析. XC, **24**(2): 161-167.
- 郭振永, 袁新哲, 张平. 一种多通道 SAR 高分辨率宽测绘带成像算法. DxX, **30**(2): 310-313.
- 何传红, 何为, 黄嵩等. 开放式电阻抗成像基本原理和仿真实验研究. ZS, **27**(5): 669-674.
- 胡春红, 赵涛, 李辉等. 衍射增强成像相位信息提取与融合研究. ZTu, **13**(8): 1622-1628.
- 李海滨, 郝向阳. 一种基于基本矩阵的相机畸变差自动校正方法. ZTu, **13**(11): 2081-2086.
- 李慧, 戴汝为. 在体生物光学成像技术的研究进展. ZX, **34**(12): 1449-1457.
- 刘继帮, 韩松. 基于距离走动校正的星载 SAR 成像算法. DxX, **30**(2): 322-325.
- 刘佳宾, 李坤成, 杜祥颖等. 球管焦点选择对多排螺旋 CT 后颅凹成像图像质量的影响. CT, **17**(2): 61-65.
- 刘江涛, 张爱武, 臧克. 3 维数字化技术在考古中的应用. ZTu, **13**(4): 654-657.
- 刘永祥, 吕玉增, 黎湘等. 多姿态角下的目标散射中心关联与成像方法研究. XC, **24**(2): 168-171.
- 马晓峰, 周许申, 宋娜等. 一种轨道宽带 SAR 数据采集与成像处理实验系统. SC, **23**(5): 625-629.
- 宓桃, 安平, 刘苏醒等. 基于多视定位算法的多摄像机标

定. ZTu, **13**(10):1922-1925.

- 秦建增,杨磊,贺为民等. 电阻率成像技术研究与应用. CT, **17**(3):50-56.
- 万定锐,周杰. 双 PTZ 摄像机系统的标定. ZTu, **13**(4):786-793.
- 王建,薛国义,周智敏等. 超宽带 SAR 子孔径 NCS 实时成像算法. XC, **24**(3):390-394.
- 王密,胡芬,王海涛. 一种基于物方几何约束的线阵推扫式影像坐标反投影计算的快速算法. CX, **37**(3):384-390.
- 王挺,王越超,姚辰. 一种基于旋转体的摄像机定位方法. JX, **31**(3):493-501.
- 王卫威,王正明,王光新. 基于假设检验的 SAR 图像分辨率判别准则与算法. XC, **24**(5):853-858.
- 王宇,王宾,张志敏等. 改进的 Wavenumber Domain 算法在实时处理中的应用和研究. DxX, **30**(6):1321-1325.
- 张钰,姚素英,张娜等. 改进的 Gray World-Retinex 图像自动白平衡方法. SC, **23**(6):673-677.
- 朱凌,石若明. 地面三维激光扫描点云分辨率研究. YX, **12**(3):405-410.

## A2: 图像重建 (25 篇)

- 范毅,卢虹冰,刘欣等. 基于 Novikov 求逆变换公式的 4 维扇形 SPECT 图像快速定量重建. ZTu, **13**(12):2270-2274.
- 方侨光,张丽,黄志峰等. 一阶相衬 CT 重建算法的最新进展. CT, **17**(4):23-31.
- 孔慧华,潘晋孝. 序列子集联合代数重建技术. CT, **17**(2):40-45.
- 刘力,朱佩平. X 射线衍射增强成像中 DEI 峰位 CT 图像的解释. CT, **17**(1):1-6.
- 罗辞勇,徐管鑫,何为. 应用于 APT 驱动模式的 NOSER 成像算法. ZS, **27**(3):321-325.
- 马建华,陈武凡. 不含旋转角度微分的螺旋锥束 CT 重建. ZTu, **13**(4):647-653.
- 马建华,颜刚,陈凌剑等. 扇形束 CT 超短扫描优质重建算法研究. ZS, **27**(3):347-352.
- 蒙蒙,江凌彤,李士强等. 三维磁共振磁感应成像重建方法研究. ZS, **27**(5):650-653.
- 莫会云,潘晋孝. 基于像素采样不足的伪迹处理方法. ZTi, **13**(2):129-133.
- 沈金松,孙文博. 井间电磁测量的 2.5 维层析成像方法. CT, **17**(1):27-40.
- 王东明,卢虹冰,张军英等. 基于统计特性的小波噪声抑制在低剂量 CT 中的应用. ZTu, **13**(5):876-881.
- 王浩,卢孝强,孙怡. 基于改进正则化方法的有限角度 CT 图像重建算法. CT, **17**(4):15-22.
- 王丽艳,罗守华,韦志辉. 基于 C 型臂的有限角锥形束三

维重建算法. CT, **17**(4):1-7.

- 王玉宇,王慧贤,杨文晖等. 基于斜位电流注入的磁共振电阻抗成像谐波函数  $B_2$  重建算法及实验研究. ZS, **27**(5):654-658.
- 魏素花,王双虎,许海波. 轴对称物体 X 射线层析成像的正则化方法. ZTu, **13**(12):2275-2280.
- 文斌,吴胜利,潘瑞谊. CT 图像重建预处理滤波器设计. CT, **17**(3):57-64.
- 吴海勇. 基于两变量 Krawtchouk 矩的图像重建. ZTu, **13**(9):1645-1648.
- 谢丹艳,井西利,任国朝. 基于 Bayes 估计的稀疏数据 CT 重建算法研究. CT, **17**(4):8-14.
- 徐海军,魏东波,傅健等. 三维 Radon 变换的一种快速解析方法. CT, **17**(2):1-7.
- 薛震,张斌,潘晋孝. FDK 算法中一种新的插值方法的研究. CT, **17**(3):1-6.
- 张成,吴季. 基于加窗反投影的干涉式微波辐射计成像算法. DxX, **30**(5):1064-1067.
- 张东平,张定华,张丰收. 一种基于 Grengat 公式的锥束 CT 重建算法研究. ZTu, **13**(9):1649-1654.
- 张丽,高河伟,邢宇翔等. 直线轨迹扫描断层成像中的图像重建与恢复方法. ZTi, **13**(4):241-245.
- 赵星,张慧滔,陈明等. 首都师范大学检测成像实验室 CT 研究进展. ZTi, **13**(3):158-165.
- 周泽俊,胡永胜,高斌等. 多层螺旋 CT 螺距、层厚和重建间隔关系及图像质量影响. CT, **17**(1):21-26.

## A3: 图像增强和恢复等 (82 篇)

- 蔡国林,刘国祥,李永树. 一种基于小波相位分析的 InSAR 干涉图滤波算法. CX, **37**(3):293-300.
- 曹瑛,李志永,卢晓鹏等. 基于自适应邻域双边滤波的点目标检测预处理算法. DxX, **30**(8):1909-1912.
- 陈功,王唐,周荷琴. 基于物理模型的雾天图像复原新方法. ZTu, **13**(5):888-893.
- 陈守水,杨新. 一种基于两阶段的脉冲噪声滤除算法. XC, **24**(4):627-630.
- 陈耀文,刘伟文,沈智威等. 基于 Contourlet 域 Context 模型的磁共振图像去噪方法. ZTi, **13**(2):116-120.
- 陈振,贺建军. 基于可变尺寸块运动矢量恢复的 H. 264 时域差错掩盖算法. ZTu, **13**(7):1244-1249.
- 程光权,成礼智. 基于冗余 Contourlet 变换的图像相关法去噪. ZTu, **13**(9):1678-1684.
- 楚恒,刘华林,朱维乐. 有利图像压缩的小波去噪算法. DC, **22**(3):21-25.
- 戴芳,薛建儒,郑南宁. 嵌入固有模态函数的各向异性扩散方程用于图像降噪. DxX, **30**(3):509-513.
- 丁勇,陆生礼,时龙兴. 基于形态学滤波和小角度边缘搜索的运动自适应去隔行. ZTu, **13**(5):882-887.

- 付树军,阮秋琦,穆成坡等.基于双向耦合扩散的保持特征的边缘锐化和图像增强. *JX*,**31**(3):529-535.
- 傅新元,郭禾,王宇新等.基于抠像技术的图像无缝融合算法. *ZTu*,**13**(6):1082-1089.
- 盖强,殷福亮,邹岩崑.二维局域波分析在图像消噪中的应用研究. *DX*,**36**(9):1763-1765.
- 郭圣文.一种新的边缘保留各向异性扩散方法. *ZTu*,**13**(2):209-213.
- 郭武,王润生,张鹏等.基于独立分量分析的图像去噪研究. *XC*,**24**(3):381-385.
- 郭旭静,王祖林,侯正信.乘性噪声消除的全相位分级非下采样 Contourlet 算法. *DC*,**22**(2):86-90.
- 侯正信,任亮,郭旭静.一种新的全相位 Contourlet 离散变换在图像去噪中的应用. *ZTu*,**13**(5):870-875.
- 胡谋法,董文娟,王书宏等.奇异值分解带通滤波背景抑制和去噪. *DX*,**36**(1):111-116.
- 件冀颖,阮秋琦.基于整体变分和变换域分析的复合去噪模型. *XC*,**24**(2):277-280.
- 江玲玲,冯象初,殷海青.基于 Besov 空间的图像盲复原算法. *SC*,**23**(6):678-682.
- 江玲玲,冯象初,殷海青.基于 Curvelet 域的图像复原和分解模型. *DX*,**36**(9):1790-1794.
- 金海良,李德华.基于噪声检测的图像去燥算法. *MR*,**21**(3):298-302.
- 黎芳,刘瑞华. $p(x)$ 调和映射在图像恢复中的应用. *ZTu*,**13**(1):19-23.
- 李波,苏志勋,刘秀平.基于  $L_p$  范数的局部自适应偏微分方程图像恢复. *ZX*,**34**(8):849-853.
- 李敏,冯象初.基于小波空间的图像分解变分模型. *DX*,**36**(1):184-187.
- 李欣,孙懋珩.稳健平滑算法的改进策略. *ZTu*,**13**(4):624-628.
- 李学玲,齐国清.基于方向信息测度的非线性扩散图像去噪方法. *ZTu*,**13**(3):400-405.
- 李应岐,何明一.一种新的 SAR 图像快速自适应去斑算法. *ZTu*,**13**(2):214-218.
- 李颖超,王涌天,杨健.基于像素运动模型的数字造影系统成像畸变校正. *DX*,**36**(8):1473-1479.
- 李志永,滕升华,杜坤等.基于不平等颜色混合的图像彩色化方法. *DxX*,**30**(3):514-517.
- 梁栋,殷兵,于梅等.基于非抽样 Contourlet 变换的自适应阈值图像增强算法. *DX*,**36**(3):527-530.
- 凌波,叶秀清,顾伟康等.一种自适应的时空视频去噪算法. *DxX*,**30**(10):2287-2290.
- 刘勃,马义德.一种基于 PCNN 赋时矩阵的图像去噪新算法. *DxX*,**30**(8):1869-1873.
- 刘瑞华,黎芳.基于鲁棒性的图像修复. *ZTu*,**13**(9):1641-1644.
- 柳建军,贺国强.图像恢复的正则化混合 GMRES(m) 方法. *ZTu*,**13**(12):2297-2301.
- 卢成武,宋国乡.带曲波域约束的全变差正则化抑噪方法. *DX*,**36**(4):646-649.
- 吕品,张金芳,王宇心.多投影仪无缝拼接显示中的颜色校正技术比较研究. *ZTu*,**13**(7):1272-1280.
- 潘晴,严国萍,张玉宽.各向异性高通滤波中一种改进型边缘方向估计算法. *ZTu*,**13**(6):1077-1081.
- 庞全,钱诚,杨翠容等.基于双稳态随机共振的图像复原技术研究. *ZTu*,**13**(8):1447-1453.
- 彭凡,王沛,陈胜.一种改进的基于汉明纠错码的图像恢复算法. *ZTu*,**13**(10):2043-2046.
- 屈磊,韦穗,梁栋等.快速自适应模板图像修复算法. *ZTu*,**13**(1):24-28.
- 商泽利,水鹏朗,王小龙.利用几何结构检测去除图像中的随机值脉冲噪声. *ZTu*,**13**(7):1292-1297.
- 邵文泽,韦志辉.局部几何结构驱动的图像插值放大及超分辨率复原. *ZTu*,**13**(7):1235-1243.
- 孙晓丽,冯象初,宋国乡.一种改进的方向扩散方程滤波方法. *XC*,**24**(5):828-830.
- 孙中伟,许刚.一种基于  $\alpha$  稳定分布模型的 DCT 域隐藏信息检测新方法. *DX*,**36**(4):720-724.
- 唐洪荣,沈民奋,李斌.周期紧支撑径向基函数对 BEMD 的优化. *DxX*,**30**(1):149-153.
- 唐磊,赵春霞,王鸿南等.基于各向异性 Retinex 的路面图像阴影消除. *ZTu*,**13**(2):264-268.
- 唐磊,赵春霞,王鸿南等.路面图像增强的多偏微分方程融合法. *ZTu*,**13**(9):1661-1666.
- 田沛,李庆周,马平等.一种基于小波变换的图像去噪新方法. *ZTu*,**13**(3):394-399.
- 万洪林,彭玉华,曲怀敬.全变差数字滤波器与 Ridgelet 变换相结合的图像去噪方法. *DX*,**36**(1):90-94.
- 王春桃,倪江群,黄继武等.结合 Zernike 矩和模板具有 RST 不变性的 DWT-HMM 鲁棒水印算法. *ZTu*,**13**(7):1250-1257.
- 王际朝.一种组合总变差和 4 阶偏微分方程的图像去噪模型. *ZTu*,**13**(8):1443-1446.
- 王津申,戴跃伟,王执铨.用于 JPEG 图像认证的特征水印算法. *ZTu*,**13**(7):1265-1271.
- 王利,陈允杰,汤杨等.一种基于遗传算法的脑 MR 图像去偏移场模型. *ZTu*,**13**(7):1281-1286.
- 王守觉,丁兴号,廖英豪等.一种新的仿生彩色图像增强方法. *DX*,**36**(10):1970-1973.
- 王晖毕,秀丽,马建峰等.基于概率统计模型与图像主纹理方向分析的非线性滤波算法. *ZTu*,**13**(5):858-864.
- 王振松,刘晓云,李小文等.基于惩罚系数自适应修正的

SAR 图像滤波新算法. ZTu, **13**(9):1685-1688.

- 王祖喜,赵湘媛.用于图像认证的可恢复半脆弱数字水印. ZTu, **13**(7):1258-1264.
- 韦学辉,李均利,陈刚.基于多元线性回归的图像质量评价方法. ZTu, **13**(11):2123-2131.
- 夏艳,苏中,吴细宝.双目视觉测量系统的标定及 3 维测量. ZTu, **13**(7):1298-1302.
- 肖弘智,闰敬文,屈小波.基于 Surfacelet 变换的 3D Context 模型视频去噪新方法. DX, **36**(7):1460-1464.
- 肖俊,宋寿鹏,丁丽娟.空域同态滤波算法研究. ZTu, **13**(12):2302-2306.
- 严奉霞,成礼智,彭思龙.复数小波域的高斯尺度混合模型图像降噪. ZTu, **13**(5):865-869.
- 严捷丰,王唐,周荷琴.交通监控视频的快速图像稳定方法. XC, **24**(1):135-139.
- 叶盛杨,苏开娜,肖创柏等.基于结构信息提取的图像质量评价. DX, **36**(5):856-861.
- 袁杰,都思丹.加权 Myriad 滤波器的研究. ZTu, **13**(7):1287-1291.
- 张军,韦志辉.一种基于卷积积分的图像去噪变分方法. ZTu, **13**(9):1673-1677.
- 张智,夏德深.结合复小波的倒易晶胞图像复原方法. DX, **36**(10):1979-1985.
- 赵春晖,尚政国.紧缩能量分层有限 Ridgelet 图像去噪新方法. DxX, **30**(12):2894-2897.
- 赵平,赵春尚,赵伟.基于复小波系数局部方差无偏估计量的图像去噪. ZTu, **13**(1):14-18.
- 郑海红,孔月萍,曾平等.误差分散类逆半调技术综述. ZTu, **13**(1):1-6.
- 钟升,杨恒,王忠.基于小波变换的图像 Wiener 滤波并行实现. XC, **24**(2):333-338.
- 周登文,申晓留.邻域小波系数自适应的图像降噪. ZTu, **13**(11):2112-2116.
- 周登文,申晓留.自适应的图像组合降噪. ZTu, **13**(2):219-224.
- 周宁宁,赵正旭,秦文虎.图像的中介滤波算法与图像中介保真度量. DX, **36**(5):979-984.
- 周卫峰,李成军,朱重光.多时相遥感图像复原方法的研究. YX, **12**(3):428-432.
- 周晓光,匡纲要,万建伟.多极化 SAR 图像斑点抑制综述. ZTu, **13**(3):377-385.
- 周祚峰,水鹏朗.交替使用小波去噪和全变差正则化的盲图像恢复算法. DxX, **30**(12):2912-2915.
- 周祚峰,水鹏朗.利用数学形态学和方向窗的小波域双重局部维纳滤波图像去噪算法. DxX, **30**(4):885-888.
- 朱景福,黄岚岗.二维小波收缩与各向异性扩散等价性框架及在图像去噪中的应用. DxX, **30**(3):524-528.

- 朱为,李国辉,涂丹.一种基于第 2 代曲波变换的尺度相关图像去噪方法. ZTu, **13**(12):2281-2285.
- 邹谋炎,刘艳,曹瑛等.一种新的图像序列失真模型:动态偏移场模型. DxX, **30**(9):2143-2147.

#### A4: 图像(视频)压缩编码(53 篇)

- 曹宁,梅侠. CAVLC 解码的一种有效方法. ZTu, **13**(2):230-233.
- 柴俊华,应骏.自适应搜索长度的 UMHexagonS 算法研究. ZTu, **13**(10):1849-1852.
- 陈婧,蔡灿辉.基于分层结构的多描述编码. ZTu, **13**(1):47-52.
- 陈志峰,丁宣浩.基于可控变参数不动点定理分形图像解码. ZTu, **13**(8):1411-1416.
- 董倩,杨春玲.用于图像近无损压缩的自适应平滑算法研究. ZTu, **13**(6):1065-1070.
- 杜列波,肖学敏,鲁琴等. LS9/7 小波定点实现. ZTu, **13**(10):1833-1836.
- 方健,郑伟,李炳博等.针对 H-264 的基于平坦区域预测的分像素运动估计. ZTu, **13**(12):2286-2290.
- 费风长,方志军.一种新的小波域快速搜索算法. ZTu, **13**(10):2051-2054.
- 干宗良,齐丽娜,朱秀昌. Wyner-Ziv 视频系统中解码算法研究. XC, **24**(4):609-613.
- 甘涛,何艳敏,朱维乐.基于互相关估计的快速图像逼近算法. DX, **36**(5):1019-1023.
- 龚声蓉,陆梯亮,沈项军等.一种新的基于基准线的形状编码. ZTu, **13**(4):605-611.
- 龚声蓉,王朝晖,陆梯亮等.结合视频分割的形状编码算法. TX, **29**(3):70-75.
- 郭建军,吴一全.基于 Contourlet 变换的嵌入式图像编码. DC, **22**(2):107-110.
- 郭锐,刘济林.基于 JPEG2000 和 WIPC-LDPC 的联合信源信道编码. ZTu, **13**(6):1048-1053.
- 郝红卫,蒋蓉蓉,石稚珊.一种圆形感兴趣区域图像压缩算法. ZX, **34**(5):601-603.
- 何传江,刘维胜,申小娜.基于行列式的快速分形图像编码算法. ZTu, **13**(3):440-444.
- 黄为,陈维荣.一种新的多假设运动补偿预测算法. ZTu, **13**(3):435-439.
- 黄翔东,王兆华.用于立体数字信息恢复的 DFT 域三维滤波器设计. ZTu, **13**(1):1-5.
- 蒋刚毅,金智鹏,郁梅.分布式视频编码方法研究. ZTu, **13**(3):386-393.
- 李恒建,陈怀新,张家树.基于分段式拟合的低比特率图像压缩编码方法. DxX, **30**(9):2211-2215.
- 李玲,王贞松.符合 DCI 规范的 JPEG2000 自适应码率控制方法. ZTu, **13**(1):40-46.

- 李霆,王东进,刘发林. 基于 SPIHT 的动态感兴趣区域编码算法. SC, **23**(3):294-299.
  - 李扬曦,李涛,马义德. 基于方向判断的自适应运动估计快速算法. ZTu, **13**(8):1501-1505.
  - 李元祥,邓黎,敬忠良. MODIS 多光谱图像压缩研究. DxX, **30**(10):2352-2355.
  - 梁志伟,马旭东,戴先中. 一种新 97 小波改进的 JPEG2000 算法. ZTu, **13**(5):853-857.
  - 廖怡,郭宝龙. 基于 H. 264 编码模式的快速判决算法. ZTu, **13**(1):34-39.
  - 刘君,蔡灿辉. 基于全零块及方向一致性的 H-264 帧间快速模式选择算法. ZTu, **13**(10):1999-2002.
  - 刘兆广,彭玉华,杨阳. 一种基于 H. 264 的视频转码方案. DX, **36**(5):848-851.
  - 刘震,白中英,施进明等. 基于量子克隆选择的自适应多模式快速运动估计算法. DxX, **30**(10):2311-2314.
  - 潘泓,夏良正. 一种基于二进制小波变换的无损图像编码算法. DxX, **30**(7):1671-1675.
  - 沈渝力,王维东,郭斌等. 基于矢量相关性的自适应运动估计搜索算法. ZTu, **13**(9):1689-1693.
  - 宋雪桦,雷茂慧,焦蓬蓬. 基于起点预测的改进十字形搜索算法. SC, **23**(4):425-429.
  - 苏令华,万建伟. 高光图像压缩质量评价技术研究进展. ZTu, **13**(8):1389-1395.
  - 汪林,殷福亮,陈喆. 一种基于八叉树的 Huffman 解码方法及其在 MPEG-4 中的应用. DxX, **30**(8):1861-1864.
  - 王泉程,嘉利. 一种面向 H. 264/AVC 的运动估计算法. ZTu, **13**(6):1054-1060.
  - 王世刚,王学军,陈贺新. 基于 H. 264 标准的双目立体视频压缩编码与实现. ZTu, **13**(1):11-16.
  - 王樟,柳健,田金文. 空间可扩展视频编码中增强层上的帧内预测算法研究. ZTu, **13**(4):612-617.
  - 王中元,胡瑞敏,田纲等. 视频编码器中 DCT 域系数的变换编码研究. TX, **29**(6):133-136.
  - 王中元,胡瑞敏,田纲等. 整数 DCT 变换中变换基的通用生成算法. ZTu, **13**(6):1061-1064.
  - 熊校良,杨光临,段晓辉. SPIHT 算法对 BP 神经网络图像压缩处理的改善. DC, **22**(6):7-11.
  - 徐妮妮,侯正信. 纯 2 维 Coifman 小波的提升格式及其应用. ZTu, **13**(8):1396-1401.
  - 徐士麟,喻莉,朱光喜. 基于概率更新机制的自适应混合熵编码. TX, **29**(5):43-49.
  - 杨好庄,赵耀. 一种快速分形图像编码算法. XC, **24**(1):152-160.
  - 裔传俊,徐涛. 基于与中间块比较的快速分形图像编码. ZTu, **13**(1):53-57.
  - 余冰,张太镒. 基于平滑滤波的 H. 264 I 帧模式决定策略. ZTu, **13**(4):629-633.
  - 郁梅,徐秋敏,蒋刚毅等. 应用于多视点视频压缩的多参考 B 帧快速编码算法. DxX, **30**(6):1400-1404.
  - 袁武,林守勋,牛振东等. H. 264/AVC 码率控制优化算法. JX, **31**(2):329-339.
  - 粘永健,苏令华,孙蕾等. 基于 3 维上下文预测的高光谱图像无损压缩. ZTu, **13**(10):2015-2018.
  - 张江鑫,冯明. H. 264 快速帧内预测模式选择算法. ZTu, **13**(10):2023-2026.
  - 张文超,王岩飞,潘志刚. 多极化 SAR 图像 3D-SPIHT 压缩. DxX, **30**(1):216-219.
  - 赵小青,倪林. 基于感兴趣区域的分层多描述图像编码. SC, **23**(2):135-140.
  - 周映虹,马争鸣. JPEG2000 中重要性编码及上下文建模的改进. ZTu, **13**(8):1402-1410.
  - 周映虹,马争鸣. 基于上下文选择编码的小波图像编码算法. TX, **29**(1):132-140.
- A5: 图像数字水印和图像信息隐藏 (60 篇)**
- 包先雨,蒋建国,李援. DCLSA: 一种适用于 H. 264/AVC 的 DCT 系数分层置乱算法. ZTu, **13**(4):618-623.
  - 卜毅,曹汉强. 一种空域 BPCS 信息隐藏的改进算法. ZTu, **13**(3):406-410.
  - 陈欢,孙广玲. 多矢量曲线水印检测的 SVM 分类融合方法. ZTu, **13**(10):1963-1966.
  - 陈俊,王文,李子扬等. LANDSAT-5 TM 数据的辐射校正与几何定位精度. ZTu, **13**(6):1094-1100.
  - 陈琼,伍祥生. 一种新颖的复合型盲水印算法. ZTu, **13**(3):419-427.
  - 戴蒙,林家骏,刘云翔. 基于 FCM 聚类的多超球体一类分类数字图像隐藏信息检测. ZTu, **13**(10):1918-1921.
  - 丁文霞,卢焕章,王浩等. 一种高速安全的改进型 CVEA 算法. XC, **24**(5):713-717.
  - 樊晓华,肖俊,王颖. 结合网格编码的固定鲁棒性嵌入水印算法. ZTu, **13**(10):1979-1982.
  - 方春,张翠芳,王宏霞等. 基于整数 DCT 变换的新水印算法. ZTu, **13**(9):1694-1700.
  - 方志军,罗桂华,李润午等. 图像盲水印算法的遗传优化. ZTu, **13**(10):1934-1937.
  - 费如纯,王丽娜,张焕国. 门限视觉密码方案的组构造方法. TX, **29**(10):82-87.
  - 冯新岗,周途. 基于质心的数字图像置乱度衡量准则. DxX, **30**(11):2684-2687.
  - 郭艳卿,孔祥维,尤新刚等. 基于 Tri-training 半监督学习的 JPEG 隐密分析方法. TX, **29**(10):205-209.
  - 胡洋,张春田,苏育挺. 基于 H. 264/AVC 的视频信息隐藏算法. DX, **36**(4):690-694.
  - 金秋明,王朔中,李茜等. 基于角点检测的稳健图像摘

- 要. ZTu, **13**(8):1454-1458.
- 荆涛. 基于特征函数和高阶统计量的图像信息隐藏盲检测方法. XC, **24**(5):802-805.
  - 李华北, 胡卫明, 罗冠. 基于语义匹配的交互式视频检索框架. ZX, **34**(10):1235-1242.
  - 李辉亮, 叶瑞松. 基于 2 维元胞自动机的图像置乱和水印技术. ZTu, **13**(11):2076-2080.
  - 李茜, 王朔中, 金秋明等. 兼顾视觉质量和载体图像无损重建的可见水印. ZTu, **13**(10):1947-1950.
  - 李小艳, 李韧, 沈民奋. 一种新的基于混沌序列的双随机置乱算法. DC, **22**(6):59-64.
  - 李旭东. 抗几何攻击的空间域图像数字水印算法. ZX, **34**(7):832-837.
  - 李旭东. 评价数字水印相似程度的公式分析及改进. ZX, **34**(2):208-210.
  - 李岩山. 基于 Clifford 代数的数字图像水印技术. DX, **36**(5):852-855.
  - 李赵红, 侯建军, 宋伟. 基于等级结构的二值文本图像认证水印算法. ZX, **34**(8):841-848.
  - 李赵红, 侯建军, 宋伟. 基于双混沌系统的抗 JPEG 压缩的图像认证水印算法. XC, **24**(6):1032-1036.
  - 林秋华, 党杰, 殷福亮. 盲源分离图像加密的相关运算解密法. TX, **29**(1):109-114.
  - 刘飞, 伍祥生, 陈琼. 基于视频内容和混沌的鲁棒水印技术. ZTu, **13**(3):411-415.
  - 刘宏伟, 谢维信, 喻建平等. 一种基于电子签章的二值图像数字水印算法. XC, **24**(3):434-437.
  - 阚国年, 刘爱利. 数字水印技术的 DEM 版权保护适用性研究. YX, **12**(5):810-818.
  - 罗向阳, 刘粉林, 王道顺. 基于小波包分解的图像信息隐写盲检测. TX, **29**(10):173-182.
  - 倪江群, 谢振, 唐琳娜等. 改进的多用途 KAEDF 半色调图像水印算法. TX, **29**(10):30-36.
  - 亓文法, 李晓龙, 杨斌等. 用于信息追踪的文本水印算法. TX, **29**(10):183-190.
  - 秦拯, 易叶青, 林亚平. 基于 JADE 算法的鲁棒性数字水印. DX, **36**(6):1149-1153.
  - 邱应强, 张育钊, 杜吉祥等. 一种用于矢量量化压缩图像的信息隐藏新方法. Dxx, **30**(7):1695-1699.
  - 邵利平, 覃征, 衡星辰等. 基于高维矩阵变换的雪崩图像置乱变换. ZTu, **13**(8):1429-1436.
  - 邵利平, 覃征, 衡星辰等. 基于矩阵变换的图像置乱逆问题求解. DX, **36**(7):1349-1354.
  - 宋琪, 罗航建. 基于归一化图像的抗仿射变换攻击的水印算法. XC, **24**(3):377-380.
  - 孙秋冬, 马文新, 颜文英等. 基于鲁棒图像水印的文本信息加密技术. ZTu, **13**(10):1942-1946.
  - 孙文颢, 刘婷婷, 张新鹏等. 彩色图像通用隐写分析的多类统计特征. ZTu, **13**(10):1914-1917.
  - 王国栋, 刘粉林, 刘媛等. 一种能区分水印或内容篡改的脆弱水印算法. DX, **36**(7):1344-1348.
  - 王强, 丁群, 张忠. 离散小波变换和混沌结合的数字图像水印算法. DC, **22**(5):16-20.
  - 王睿, 方勇. 基于不变矩的 Copy-Move 型篡改图像盲检测方法. ZTu, **13**(10):1938-1941.
  - 王向阳, 侯丽敏, 邹俊. 基于图像特征点的强鲁棒数字水印嵌入方案. ZX, **34**(1):1-6.
  - 王兴元, 石其江, 孙天凯. 基于 IFS 理论的数字水印算法. ZTu, **13**(3):428-434.
  - 王泽辉, 张治国. 语义安全的数字多媒体密码体制. TX, **29**(3):87-92.
  - 温安平, 唐建, 郭立. 一种新的矢量量化水印算法. SC, **23**(2):146-152.
  - 文振福, 袁春, 张基宏. 精细粒度可扩展编码中基于 VOP 的基本层加密算法. DX, **36**(8):1547-1551.
  - 吴晾, 李国辉, 涂丹等. 面向真实性鉴别的数字图像盲取证技术综述. ZX, **34**(12):1458-1466.
  - 吴一全, 郝红杰. 一种基于 Trace 变换的数字图像版权保护算法. ZTu, **13**(5):900-905.
  - 谢于明, 程义民, 田源等. 抗统计分析的高嵌入效率图像隐秘传输方法. SC, **23**(3):357-361.
  - 杨红梅, 梁永全, 刘连山等. 基于 HVS 的彩色图像水印视觉不可感知性评价方法. TX, **29**(2):95-100.
  - 叶登攀, 尚月赞. 基于多特征的 MPEG 视频认证方案. TX, **29**(2):59-65.
  - 袁大洋, 肖俊, 王颖. 数字图像水印算法抗几何攻击鲁棒性研究. Dxx, **30**(5):1251-1256.
  - 张力, 钱恭斌, 肖薇薇等. 基于 Tchebichef 不变矩的多比特抗几何攻击图像盲水印算法. XC, **24**(2):294-298.
  - 赵丕锡, 王巍, 王成喜. 基于 SVD 的灰度水印单色通道嵌入算法. ZTu, **13**(1):29-33.
  - 郑振东, 王沛, 陈胜. 基于运动矢量区域特征的视频水印方案. ZTu, **13**(10):1926-1929.
  - 钟晓燕, 冯前进, 陈武凡等. 基于 Hash 函数敏感性的医学图像精确认证. ZTu, **13**(2):204-208.
  - 周琳娜, 王东明, 郭云彪等. 基于数字图像边缘特性的形态学滤波取证技术. DX, **36**(6):1047-1051.
  - 周治平, 康辉, 林家骏等. 小波细节信息的 LSB 隐写分析算法. ZTu, **13**(6):1090-1093.
  - 朱从旭, 陈志刚. 一种安全多功能图像水印系统模型与算法. ZTu, **13**(5):894-899.
- A6: 图像多分辨率处理 (21 篇)**
- 冯象初, 姜东焕, 徐光宝. 基于变分和小波变换的图像放大算法. JX, **31**(2):340-345.

- 李敏,卢成武,冯象初.一类针对图像放大中反问题的变分模. *DxX*,**30**(6):1291-1294.
- 李晓光,沈兰荪,王素玉.一种基于GVF各向异性扩散模型的图像放大算法. *DX*,**36**(9):1755-1758.
- 李云海,马立勇,沈毅.基于最小二乘支持向量机误差校正的多方向插值算法. *ZTu*,**13**(8):1424-1428.
- 刘峰,刘振中.基于残差高频提升的POCS高分辨图像生成方法. *XC*,**24**(2):250-253.
- 刘政林,肖建平,邹雪城等.基于边缘的实时图像缩放算法研究. *ZTu*,**13**(2):225-229.
- 马力,张茂军,徐玮等.采用视频拼图方法构建高分辨率全景视频监控系統. *ZTu*,**13**(12):2291-2296.
- 乔建革,刘琚,闫华等.基于Log-WT的人脸图像超分辨率重建. *DxX*,**30**(6):1276-1280.
- 宋立新,高凤娇,郝朝晖.二维EMD分解方法的比较与改进. *DxX*,**30**(12):2890-2893.
- 孙晓丽,冯象初,宋国乡.方向扩散方程与小波变换的相关性研究. *DxX*,**30**(3):593-595.
- 田运,齐敏,卫旭芳等.基于像素分类的医学图像层间插值. *ZTu*,**13**(9):1655-1660.
- 王光新,王正明.SAR图像目标超分辨的变范数正则化算法. *DX*,**36**(12):2389-2393.
- 王亮,黄晓涛,周智敏.2维复图像插值技术研究. *ZTu*,**13**(8):1417-1423.
- 仵冀颖,阮秋琦.双层约束下基于局部和全局信息的图像插值新模型. *DxX*,**30**(1):144-148.
- 徐少坤,李亚楠,贾宇平等.基于矩阵束算法的多雷达信号融合超分辨成像. *XC*,**24**(5):859-862.
- 徐忠强,朱秀昌.基于噪声分布特性的压缩视频超分辨率重建. *DxX*,**30**(3):752-755.
- 徐忠强,朱秀昌.压缩图像空时自适应正则化超分辨率重建. *ZTu*,**13**(11):2087-2092.
- 许文丽,李磊,王育民.抗噪声、几何失真和JPEG压缩攻击的鲁棒数字水印方案. *DxX*,**30**(4):933-936.
- 杨浩,高建坡,吴镇扬.一种新的图像配准和超分辨率重建算法. *DxX*,**30**(1):168-171.
- 张地,彭宏.联合运动估计与基于模式的超分辨率图像垂构. *DX*,**36**(1):180-183.
- 朱成军,李超,薛玲等.一种基于多帧视频的文本图像质量增强方法. *ZTu*,**13**(9):1667-1672.
- 曹宗杰,闵锐,庞伶俐等.基于统计模型的变分水平集SAR图像分割方法. *DxX*,**30**(12):2862-2866.
- 陈学华,贺振华,黄德济.高阶伪希尔伯特变换在边缘检测中的应用. *SC*,**23**(2):224-227.
- 陈志彬,邱天爽.基于直方图拟合的MRI图像水平集分割. *ZS*,**27**(1):1-7.
- 陈志彬,邱天爽.一种基于FCM和Level Set的MRI医学图像分割方法. *DX*,**36**(9):1733-1736.
- 陈众,蔡自兴,叶青.基于ART2网络的彩色像素分析及其应用. *ZTu*,**13**(4):634-641.
- 褚一平,陈勤,黄叶珏等.基于判别模型的视频前景/阴影自动分割算法. *MR*,**21**(6):849-855.
- 褚一平,叶修梓,黄叶珏等.融合时空信息的前景/背景视频分割算法. *MR*,**21**(4):546-551.
- 丁智,董育宁.一种基于三维约束的医学图像序列分割新方法. *ZS*,**27**(4):508-514.
- 董建园,郝重阳.基于3D医学图像的血管三维分割. *ZS*,**27**(6):848-853.
- 范九伦,赵凤.基于Sugeno补的广义模糊熵值分割方法. *DxX*,**30**(8):1865-1868.
- 范延滨,刘彩霞,贾世宇等.GVF Snake模型中初始轮廓线设置算法的研究. *ZTu*,**13**(1):58-63.
- 封春升,郝爱民,何兵等.一种时域和梯度域相结合的视频对象提取算法. *ZTu*,**13**(3):494-498.
- 冯强,于盛林,王怀颖等.基于细胞神经网络的有核细胞边缘检测方法研究. *ZS*,**27**(1):29-32.
- 冯涛,周祖安,刘其真.基于局部复杂度的图像过渡区处理研究. *ZTu*,**13**(10):1894-1897.
- 高健,黄心汉,彭刚等.基于Harris角点和高斯差分的特征点提取算法. *MR*,**21**(2):171-176.
- 高世一,赵明扬,张雷等.基于Zernike正交矩的图像亚像素边缘检测算法改进. *ZX*,**34**(9):1163-1168.
- 郭雷,侯一民,伦向敏.一种基于图像上下文信息的无监督彩色图像分割算法. *MR*,**21**(1):82-87.
- 郭斯羽,孔亚广,张煦芳.基于局部连通性和PCA的直线检测Hough算法. *DC*,**22**(6):70-74.
- 郭斯羽,卢建刚,孔亚广.一种基于Hough变换的直角角点检测算法. *DC*,**22**(1):43-47.
- 韩培友,董桂云.DICOM数据的动态边界检测. *ZTu*,**13**(8):1481-1485.
- 洪志令,姜青山,王声瑞等.基于分水岭和重叠率衡量的多级彩色图像分割. *ZTu*,**13**(9):1740-1749.
- 侯迎宾,肖扬.改进的Snake模型及其在图像边缘提取中的应用. *SC*,**23**(2):153-157.
- 胡学龙,程茜,杨莉.基于形态滤波和梯度模糊GHMT的组合边缘检测. *DC*,**22**(3):55-58.
- 胡正平,谭营.基于目标模糊置信度描述驱动的区域能

## B:图像分析(共311篇)

### B1:图像分割和边缘检测(111篇)

- 薄华,马缚龙,焦李成.基于免疫K-means聚类的无监督SAR图像分割. *MR*,**21**(3):376-380.
- 卜娟,王向阳,孙艺峰.基于模糊C均值聚类的多分量彩色图像分割算法. *ZTu*,**13**(10):1837-1840.

- 量进化增长图像分割算法. ZX, **34**(9):1047-1052.
- 黄茜, 吴元, 尹俊勋. 一种基于反几何扩散分类的图像二值化方法及应用. MR, **21**(2):199-205.
  - 贾承丽, 康利鸿, 周志鑫. SAR 图像线基元提取方法分析及量化评估准则. YX, **12**(2):215-223.
  - 焦波, 李国辉, 汪彦明等. 一种基于形态学的运动车辆阴影消除方法. ZX, **34**(7):838-840.
  - 李富裕, 李言俊, 张科. 链码技术在景象图像特征提取中的应用. ZTu, **13**(1):114-118.
  - 李利伟, 马建文, 欧阳赞等. 基于时刻独立脉冲耦合神经网络的高空间分辨率遥感影像分割. YX, **12**(1):64-69.
  - 李牧, 臧希喆, 闰继宏等. 基于类内方差最小化及模糊控制算法的小波边缘检测技术. DX, **36**(9):1741-1745.
  - 李寿涛, 陈浩, 朱瑞辉等. CV 主动轮廓模型在管道焊缝缺陷检测中的应用. CT, **17**(4):55-61.
  - 李文岗, 薛斌党, 姜志国. 一种三维规则数据场中复杂组织快速分割方法. ZTi, **13**(2):106-110.
  - 李小斌, 田铮, 刘密歌等. 基于加权割的图像分割. DX, **36**(1):76-80.
  - 李禹, 计科峰, 粟毅. 基于 MSP-ROA 一边缘检测 SAR 的图像分割. XC, **24**(1):83-86.
  - 李禹, 计科峰, 粟毅. 基于统计模型组的 Markov SAR 图像分割. XC, **24**(2):272-276.
  - 李智慧, 黄凤岗. 基于区域收缩和 DIRECT 算法的运动分割. MR, **21**(2):214-220.
  - 李智慧, 黄凤岗. 一种基于区域收缩的运动分割算法. ZTu, **13**(8):1496-1500.
  - 李中伟, 王从军, 史玉升. 一种结合梯度锐化和重心法的光条中心提取算法. ZTu, **13**(1):64-68.
  - 刘斐, 卢惠民, 郑志强. 基于线性分类器的混合空间查找表颜色分类方法. ZTu, **13**(1):104-108.
  - 刘嘉, 王宏琦. 一种基于图割的交互式图像分割方法. DxX, **30**(8):1973-1976.
  - 刘金梅, 赵春晖, 尚政国. 基于形态学的均值平移算法的神经元干细胞图像的自动分割. ZS, **27**(1):33-38.
  - 刘羿彤, 付梦印. 基于快速二维熵与 PSO 算法的红外图像分割. MR, **21**(2):155-159.
  - 卢振泰, 吕庆文, 陈武凡. 基于最大互信息量的图像自动优化分割. ZTu, **13**(4):658-661.
  - 芦荟, 沈毅. 基于边缘信赖度和形状相似性的超声图像分割方案. ZTu, **13**(1):69-74.
  - 鲁昌华, 符能. 基于数学形态学的医用管制瓶边缘检测. DC, **22**(6):83-86.
  - 陆宇, 张兆杨. 采用特征描述的 H-264 压缩视频运动分割. ZTu, **13**(10):1995-1998.
  - 梅雪, 夏良正, 李久贤. 一种基于变分水平集的红外图像分割算法. DxX, **30**(7):1700-1702.
  - 聂生东, 张英力, 陈兆学. 改进的遗传模糊聚类算法及其在 MR 脑组织分割中的应用. ZS, **27**(6):860-866.
  - 宁纪锋, 吴成柯, 姜光等. 基于偏微分方程和分水岭算法的图像分割. MR, **21**(5):664-669.
  - 潘晴, 严国萍, 张玉宽. 基于人眼视觉注视机制下突触短时可塑性的图像边缘检测算法. ZTu, **13**(7):1316-1321.
  - 潘晴, 严国萍, 张玉宽. 生物视觉同时对比机制在高通滤波中的应用. XC, **24**(2):281-285.
  - 彭小奇, 孙元, 王一丁. 基于高温辐射体颜色信息的目标图像识别方法. ZTu, **13**(2):238-241.
  - 彭真明, 蒋彪, 肖峻等. 基于并行点火 PCNN 模型的图像分割新方法. ZX, **34**(9):1169-1173.
  - 钱乐乐, 高隽, 范之国等. 一种基于 Fuzzy-ART 的层次化彩色图像分割算法. ZTu, **13**(6):1101-1108.
  - 钱芸, 张英杰. 水平集的图像分割方法综述. ZTu, **13**(1):7-13.
  - 秦安, 冯前进, 陈武凡. MR 心脏序列图像左心室外壁联合分割和时序追踪新方法. ZTu, **13**(1):80-88.
  - 任继军, 何明一. 基于粒子群优化算法的改进 Snake 模型的图像分割方法. ZTu, **13**(9):1727-1732.
  - 沈蔚, 李京, 陈云浩等. 基于 LIDAR 数据的建筑轮廓线提取及规则化算法研究. YX, **12**(5):692-698.
  - 宋新, 罗军, 王鲁平等. 基于快速水平集算法的图像分割方法. XC, **24**(3):422-425.
  - 孙达, 唐降龙, 刘家锋等. 基于概率密度的兴趣点检测算法. ZX, **34**(8):854-860.
  - 孙涛, 杨高波, 刘理等. 一种基于梯度模型的 MPEG 压缩域的运动对象分割算法. ZTu, **13**(6):1109-1114.
  - 孙炜, 王耀南, 徐航. 基于自组织小波神经网络的磁共振图像分割方法. DC, **22**(4):26-29.
  - 谈绍熙, 黄茜. 一种在铸件缺陷识别中的区域分形分割方法. ZTu, **13**(5):918-923.
  - 滕今朝, 邱杰. 利用 Hough 变换实现直线的快速精确检测. ZTu, **13**(2):234-237.
  - 田军委, 黄永宣, 于亚琳. 基于熵约束的快速 FCM 聚类多阈值图像分割算法. MR, **21**(2):221-226.
  - 田小林, 焦李成, 缙水平. 基于 ICA 优化空间信息 PCM 的 SAR 图像分割. DxX, **30**(7):1751-1755.
  - 田小林, 焦李成, 缙水平. 基于 PSO 优化空间约束聚类的 SAR 图像分割. DX, **36**(3):453-457.
  - 田小林, 焦李成, 缙水平. 具有细节保护的自适应邻域 SAR 图像分割. MR, **21**(4):527-534.
  - 王丹丹, 李彬, 陈武凡. 基于多目标规划的模糊 C 均值聚类算法. ZTu, **13**(8):1492-1495.
  - 王磊, 杨付, 正常义等. 基于空间复杂度掩盖的边缘检测算法. ZTu, **13**(1):100-103.
  - 王鹏伟, 李滔, 吴秀清. 一种基于 SVM 后验概率的 MRF

- 分割方法. YX, **12**(2):208-214.
- 王文辉,冯前进,刘磊等. 基于类自适应高斯-马尔可夫随机场模型和 EM 算法的 MR 图像分割. ZTu, **13**(3):488-493.
  - 王向阳,王春花. 基于特征散度的自适应 FCM 图像分割算法. ZTu, **13**(5):906-910.
  - 王彦春,梁德群,王演. 基于图像模糊熵邻域非一致性的过渡区提取与分割. DX, **36**(12):2445-2449.
  - 王毅,牛奕龙,齐华等. 基于改进模糊指数熵阈值的 3 维人体图像分割优化算法. ZTu, **13**(9):1733-1739.
  - 王宇,陈殿仁,沈美丽等. 基于形态学梯度重构和标记提取的分水岭图像分割. ZTu, **13**(11):2176-2180.
  - 王振华,陈杰,窦丽华. 基于空域多分辨率分析的小波变换图像分割方法. MR, **21**(2):193-198.
  - 魏颖,李军,徐心和. 基于圆形约束 C-V 水平集的肺部 CT 图像病灶分割. ZTu, **13**(6):1148-1152.
  - 吴成茂,田小平,谭铁牛. 二维 Otsu 阈值法的快速迭代算法. MR, **21**(6):746-757.
  - 吴一全,潘喆. 基于最小类内绝对差和最大差的图像阈值分割. XC, **24**(6):943-946.
  - 吴一全,潘喆,吴文怡. 二维直方图区域斜分阈值分割及快速递推算法. TX, **29**(4):77-83.
  - 项海林,焦李成,贾建. 基于非下采样 Contourlet 变换域双变量模型的图像分割. ZTu, **13**(10):1841-1944.
  - 谢凤英,秦世引,姜志国等. 基于改进自生成神经网络的皮肤镜黑色素细胞瘤图像分割. ZTi, **13**(4):246-249.
  - 谢剑斌,刘通,王岩等. 基于快速递推和搜索策略的优化 2 维熵分割算法. ZTu, **13**(4):662-665.
  - 谢振平,王士同. 融合模糊聚类的 Mumford-Shah 模型. DX, **36**(1):127-132.
  - 谢振平,王士同,王晓明. 一种基于软边界球分的分裂式层次聚类算法. MR, **21**(4):559-568.
  - 徐春燕,冯学智,赵书河等. 基于数学形态学的 IKONOS 多光谱图像分割方法研究. YX, **12**(6):980-986.
  - 徐胜华,朱庆,刘纪平等. 基于预存储权值矩阵的多尺度 Hough 变换直线提取算法. CX, **37**(1):83-88.
  - 阳春华,杨尽英,牟学民等. 基于聚类预分割和高低精度距离重构的彩色浮选泡沫图像分割. DxX, **30**(6):1286-1290.
  - 杨涛,李静,潘泉等. 一种基于多层背景模型的前景检测算法. ZTu, **13**(7):1303-1308.
  - 姚畅,陈后金,李居朋. 改进型脉冲耦合神经网络在图像处理中的动态行为分析. ZX, **34**(10):1291-1297.
  - 姚畅,陈后金,李居朋. 基于过渡区提取的视网膜血管分割方法. DX, **36**(5):974-978.
  - 于江波,陈后金,王巍等. 脉冲耦合神经网络在图像处理中的参数确定. DX, **36**(1):81-85.
  - 于勇,郭雷. 噪声图像中提取边缘的蚁群搜索算法. DxX, **30**(6):1271-1275.
  - 余莉,韩方剑. 基于分水岭变换和遗传算法的自动目标检测. ZTu, **13**(9):1713-1719.
  - 俞璐,吴乐南,谢钧. 一种低复杂度二维隐 Markov 模型及其在图像分割中的应用. DxX, **30**(2):277-281.
  - 俞璐,谢钧,吴乐南. 基于二维隐 Markov 模型的图像分割新算法. SC, **23**(3):254-258.
  - 岳思聪,赵荣椿,郑江滨. 基于多尺度边缘响应函数的自适应阈值边缘检测算法. DxX, **30**(4):957-960.
  - 张倩,张兆杨,安平. 基于压缩域信息的立体视频对象分割方法. ZTu, **13**(10):2047-2050.
  - 张强,吴艳. 基于上下文和隐类属的小波域马尔可夫随机场 SAR 图像分割. DxX, **30**(1):211-215.
  - 张荣国,刘小君,王蓉等. 自适应梯度矢量流轮廓提取方法. MR, **21**(6):799-805.
  - 张荣祥,郑世杰,夏庆观. 基于 Hilbert 扫描和小波变换的自适应图像分割. ZTu, **13**(4):666-671.
  - 张扬,王士同,韩斌. 基于改进模糊聚类算法鲁棒的图像分割. ZTu, **13**(5):911-917.
  - 张悦庭,尹忠科,王建英. 一种新的图像边缘检测方法. DxX, **30**(6):1295-1300.
  - 赵继印,徐艳雷,焦玉斌. 基于顺序形态学的图像边缘检测快速算法的研究. DX, **36**(11):2195-2199.
  - 赵希梅,武金燕,任秋实等. 基于 Watersnake 的视神经纤维的自动识别. ZS, **27**(3):326-330.
  - 郑玮,康戈文,陈武凡等. 基于模糊马尔可夫随机场的无监督遥感图像分割算法. YX, **12**(2):246-252.
  - 周昌雄,曹丰文,崔鸣等. 基于格式塔心理学原理的几何活动轮廓模型. ZTu, **13**(5):924-929.
  - 周宏琼,汪增福,林万洪等. 一种面向细胞骨架图像的区域分割算法. MR, **21**(2):165-170.
- ## B2: 目标表达、描述、测量 (15 篇)
- 蔡红苹,雷琳,陈涛等. 一种通用的仿射不变特征区域提取方法. DX, **36**(4):672-678.
  - 董方,胡亮,李柏林等. 基于小波变换尺度相关性的轮廓数据去噪. CT, **17**(4):62-66.
  - 韩斌,徐之,王士同. 离散不变矩的比例不变性研究. SC, **23**(5):555-558.
  - 胡学龙,王志坚. 基于分数低阶矩的图像阈值检测和颗粒度分析算法. ZTu, **13**(10):1821-1824.
  - 柯颀,叶斌,胡修林. 滑动窗应用场合下的 2 维几何矩快速算法. ZTu, **13**(6):1166-1170.
  - 李乐,章毓晋. 非负矩阵分解算法综述. DX, **36**(4):737-743.
  - 李启翩,罗予频,萧德云. 基于流向标量场与快速扫描法的图像分割. ZX, **34**(8):993-996.

- 刘继雄,陈士华.球墨铸铁中石墨大小及球化率的测定. ZTi, **13**(2):138-140.
- 刘俊涛,刘文予,吴彩华等.一种提取物体线形骨架的新方法. ZX, **34**(6):617-622.
- 吕哲,王福利,常玉清等.一种改进的骨架曲线串行多边形近似算法. ZX, **34**(12):1467-1474.
- 任帅杰,张文生,何源等.基于图像分析的纤维直径和曲率的测量方法. ZTu, **13**(6):1153-1158.
- 孙玉宝,肖亮,韦志辉等.基于 Gabor 感知多成分字典的图像稀疏表示算法研究. ZX, **34**(11):1379-1387.
- 王晖,肖斌,马建峰.基于 Radon 和解析 Fourier-Mellin 变换的尺度与旋转不变目标识别算法. ZTu, **13**(11):2157-2162.
- 张义宽,张晓鹏,查红彬等.3 维点云的拓扑结构表征与计算技术. ZTu, **13**(8):1576-1587.
- 张宇,周志华.基于集成的年龄估计方法. ZX, **34**(8):997-1000.
- 汪海洋,潘德炉,夏德深等.基于方向极傅里叶频谱 2DPCA 的尾迹检测. ZX, **34**(9):1053-1059.
- 王斌,舒华忠,施朝健等.一种基于轮廓线的形状描述与匹配方法. DxX, **30**(4):949-952.
- 王超,方璐,叶凤芹等.基于 Mumford-Shah 模型和 G 空间的图像结构纹理分解. SC, **23**(1):17-22.
- 王唐,严捷丰,周荷琴.一种基于局部灰度分布的自适应运动检测算法. XC, **24**(2):209-212.
- 王喧,毕秀丽,马建峰.基于二次噪声检测和细节保护规则函数的图像滤波算法. DX, **36**(2):381-385.
- 吴证,周越,杜春华等.彩色图像人脸特征点定位算法研究. DX, **36**(2):303-308.
- 邢薇薇,刘渭滨,袁保宗等.基于球谐分析和三维矩的超二次模型匹配计算. XC, **24**(2):177-182.
- 曾接贤,黄华川,张桂梅.基于有向面积的角点分类算法. ZTu, **13**(6):1159-1165.
- 张东波,王耀南,黄辉先.基于变精度粗糙集的粗集神经网络. DxX, **30**(8):1913-1917.
- 张筱,马建峰,王良民等.门限 Byzantine quorum 系统及其在分布式存储中的应用. DX, **36**(2):309-313.
- 张玉华,王欣.一种适用于图像去噪的三通道正交完全重建滤波器组. DX, **36**(2):376-380.
- 邹北骥,韩立芹,彭小宁.一种用于跳水运动视频的全局运动估计方法. DX, **36**(12):2412-2417.

### B3: 目标特性分析 (27 篇)

- 曹治国,肖阳,邹腊梅.行程长度纹理特征在 SPOT 遥感图像分类中的应用. MR, **21**(2):260-.
- 猴水平,焦李成,田小林.基于免疫克隆聚类协同神经网络的图像识别. DxX, **30**(2):263-266.
- 韩玉兵,束锋,丙义斌等.基于本征和非本征正则项的光流估计. XC, **24**(4):680-683.
- 贾建华,焦李成,黄文涛.一种基于质心不变特性的仿射不变纹理特征提取算法. DX, **36**(10):1910-1915.
- 黎新伍.数码相机色空间转换方法. SC, **23**(5):559-562.
- 李良福,冯祖仁,陈卫东等.基于 Bhattacharyya 系数的由粗到精的核匹配搜索方法. MR, **21**(4):514-519.
- 李木国,杜海.基于细胞分裂的粒子图像运动分析. DX, **36**(4):772-776.
- 梁光明,孙即祥,唐玉鹏等.一种区域弦分布形状描述子及其在形状特征识别中的应用. ZTu, **13**(8):1470-1475.
- 刘洋,初秀琴,李玉山.二维时空模糊熵运动检测中的自适应门限新算法. DX, **36**(6):1092-1097.
- 刘兆广,彭玉华,杨阳.一种基于类 Haar 小波的 MCTF 视频编码方案. DX, **36**(2):386-391.
- 卢清华,张宪民.用于运动估计的最小化 MSE 滤波器设计. DX, **36**(2):239-244.
- 吕玉增,彭启民,黎湘.基于极值特征的不变性形状识别. DX, **36**(4):679-684.
- 梅雪,李久贤,夏良正.基于 Contourlet 变换的加权小波特征抽取算法. SC, **23**(1):23-26.
- 商惠敏,蔡利栋.序列图像缩放系数的一种实时估计算法. ZTi, **13**(1):6-10.
- 汪海洋,潘德炉,夏德深.航空图像中水面纹理的自动提取. ZTu, **13**(2):251-256.

### B4: 目标检测和识别 (88 篇)

- 程亮,龚健雅. LiDAR 辅助下利用超高分辨率影像提取建筑物轮廓方法. CX, **37**(3):391-393.
- 邓鹤,李红.基于改进的 2 维 EMD 的红外小目标检测. ZTu, **13**(11):2144-2150.
- 邸男,朱明.一种复杂背景下的实时目标跟踪算法. ZTu, **13**(9):1758-1765.
- 杜吉祥,汪增福.基于径向基概率神经网络的植物叶片自动识别方法. MR, **21**(2):206-213.
- 范培蕾,张晓今,杨涛等.末敏子弹图像序列中机场跑道线目标的跟踪及处理算法研究. ZTu, **13**(1):75-79.
- 甘新胜.基于码书的运动目标检测方法. ZTu, **13**(2):365-371.
- 高贵,何鹏,匡纲要等. SAR 图像目标方位角估计方法综述. XC, **24**(3):438-443.
- 高贵,周蝶飞,蒋咏梅等.图像目标检测研究综述. XC, **24**(6):971-981.
- 龚亚信,杨宏文,胡卫东等.基于多模粒子滤波的机动弱目标检测前跟踪. DxX, **30**(4):941-944.
- 贺志国,陆军,匡纲要. SAR 图像特征提取与选择研究. XC, **24**(5):813-823.
- 胡丹丹,高庆吉,支源.背景分割和阴影检测算法研究. ZTu, **13**(8):1486-1491.

- 胡德勇,李京,陈云浩等.单波段单极化 SAR 图像水体和居住地信息提取方法研究. ZTu, **13**(2):257-263.
- 胡谋法,陈曾平.基于 Zernike-Facet 模型和总体最小二乘的弱小目标检测. DxX, **30**(1):194-197.
- 胡欣,唐硕.基于完备格的重构滤波器在红外图像目标检测中的应用. ZTu, **13**(1):95-99.
- 胡钢,杨静宇.基于模型的车辆检测与跟踪. ZTu, **13**(3):450-455.
- 宦若虹,杨汝良.基于多幅同目标图像和 HMM 的 SAR 图像目标识别. DxX, **30**(9):2051-2054.
- 季丽琴,王加俊.视频字幕的自动检测与去除. ZTu, **13**(3):461-466.
- 贾承丽,赵凌君,吴其昌等.基于遗传算法的 SAR 图像自动道路提取. ZTu, **13**(6):1134-1142.
- 焦波,李国辉,涂丹等.一种用于运动目标检测的快速收敛混合高斯模型. ZTu, **13**(11):2139-2143.
- 金保欣,陶霖密,徐光祐等.摄像机自由运动环境下的背景建模. ZTu, **13**(2):359-364.
- 康莉,谢维信,黄敬雄等.一种新的红外弱小目标检测与跟踪算法. XC, **24**(6):900-902.
- 雷琳,李智勇,粟毅.基于 ROI 特征匹配融合的图像多目标跟踪算法. ZTu, **13**(3):580-585.
- 黎海兵,易卫东.一种高效检测图像中是否有三角形的算法. ZTu, **13**(3):456-460.
- 李波,姚春莲,李炜等.利用相邻帧和背景信息的运动对象检测. DX, **36**(11):2154-2159.
- 李林宜,李德仁.基于免疫粒子群优化算法的影像纹理分类. CX, **37**(2):185-189.
- 李伦波,马广富.基于 PNN 的退化交通标志图像的识别算法研究. DxX, **30**(7):1703-1707.
- 李庆华,李峰,陆郡.一种基于支持向量机的交叉路口车型分类方法及流量参数的提取. ZTu, **13**(4):801-807.
- 李晓峰,张树清,韩富伟等.基于多重信息融合的高分辨率遥感影像道路信息提取. CX, **37**(2):178-184.
- 李亚奎,卢汉清.模糊约束满足在夜间车辆识别中的应用. ZTu, **13**(8):1601-1607.
- 李正周,金钢,董能力.基于改进概率数据关联滤波的红外小运动目标跟踪. DxX, **30**(4):953-956.
- 梁华,刘云辉.自适应多模快速背景差算法. ZTu, **13**(2):345-350.
- 林宏基,叶政春,欧静.彩色序列图像中实时运动目标跟踪方法. ZTu, **13**(11):2181-2186.
- 林生佑,叶福军.基于 MRF 的复杂图像抠图. ZTu, **13**(3):499-505.
- 刘闯,龚声蓉,崔志明等.基于角点采样的多目标跟踪方法. ZTu, **13**(10):1873-1877.
- 刘进军,肖志涛,杨洪薇等.基于综合特征一致性的感兴趣目标检测. XC, **24**(6):1052-1055.
- 刘晓旻,章毓晋,谭华春.基于 Hausdorff 距离的相似性和对称性度量及在人脸定位中的应用. XC, **24**(1):118-121.
- 刘鑫,刘辉,强振平等.混合高斯模型和帧间差分相融合的自适应背景模型. ZTu, **13**(4):729-734.
- 刘艳,邹谋炎.三维动态偏移场模型及其在视频跟踪技术中的应用. DxX, **30**(11):2784-2787.
- 龙振兴,徐进,余松煜等.一种基于改进的 SROD 算法的电影胶片斑块检测技术. ZTu, **13**(10):1829-1832.
- 卢晓鹏,殷学民,邹谋炎.一种基于颜色分布的混合视频跟踪方法. DxX, **30**(2):259-262.
- 路红,费树岷,郑建勇.一种自适应运动目标检测方法. DC, **22**(4):7-11.
- 路红,费树岷,郑建勇等.基于 DWT 和 Kalman 滤波的多运动目标跟踪. SC, **23**(5):563-568.
- 罗子娟,吴一全.基于 Contourlet 变换的红外图像序列小目标检测技术. XC, **24**(4):676-679.
- 马雷,田原,苏红旗.一种基于蒙特卡罗方法的小目标视觉跟踪算法. ZTu, **13**(3):445-449.
- 明英,蒋晶珏.视觉监视中基于柯西分布的统计变化检测. ZTu, **13**(2):328-334.
- 牛蕾,阮祥伟,张长耀.基于局域 Radon 变换的尾迹提取算法. ZTu, **13**(6):1143-1147.
- 齐美彬,王倩,蒋建国等.基于背景像素值频次最高假设的背景重构算法. ZTu, **13**(4):723-728.
- 闰士举,王成寿,钱理为.基于 Hough 变换和连通体分析的混合圆形体检测算法. ZX, **34**(4):408-413.
- 余红伟,张艳宁,袁和金.一种无监督高光谱图像分类算法. ZTu, **13**(6):1123-1127.
- 沈悦,吴小俊.基于模糊隶属关系的 Mean Shift 图像跟踪改进算法. DxX, **30**(11):2688-2692.
- 苏娟,王贵锦,林行刚等.基于多时相遥感图像的人造目标变化检测算法. ZX, **34**(9):1040-1046.
- 孙瑾,顾宏斌,郑吉平.一种基于梯度方向信息的运动目标检测算法. ZTu, **13**(3):571-579.
- 谭博怡,曾慧,胡占义.一种车轮轮廓的自动提取方法. ZX, **34**(5):516-522.
- 田广,戚飞虎.移动摄像机环境下基于特征变换和 SVM 的分级行人检测算法. DX, **36**(5):1024-1028.
- 汪闽,杨晓梅,闰国年.扫描蛇:一种从高分辨率遥感图像上提取道路的新方法. ZTu, **13**(7):1322-1328.
- 王江涛,杨静宇.基于信噪比最大化的目标自适应跟踪. ZTu, **13**(1):89-94.
- 王璐,陆筱霞,蔡自兴.基于局部显著区域的自然场景识别. ZTu, **13**(8):1594-1600.
- 王卫东,韩斌,杨静宇.基于 PCA 及 ICA 的双空间特征

提取算法. ZTu, **13**(11):2163-2169.

- 王新红,王晶,田敏等. 基于空间边缘方向直方图的 Mean Shift 跟踪算法. ZTu, **13**(3):586-592.
- 王永忠,梁彦,赵春晖等. 基于多特征自适应融合的核跟踪方法. ZX, **34**(4):393-399.
- 王宇,王涌天,刘越. 一种基于全向视觉的运动物体检测算法. MR, **21**(4):488-493.
- 文志强,蔡自兴. 目标跟踪中巴氏系数误差的分析及其消除方法. JX, **31**(7):1165-1174.
- 吴青娥,王拓,刘卫亮等. 一种基于模糊自动机的目标识别方法. MR, **21**(1):56-61.
- 吴琼玉,蔡宣平,刘云辉. 一种基于多分类器融合的双色红外成像目标识别方法. XC, **24**(1):62-66.
- 伍世虔,韦礼珍,方志军. 红外人脸识别技术. ZTu, **13**(12):2260-2269.
- 武妍,姚潇,王守觉. 基于重叠空间相对划分的仿生模式识别方法. MR, **21**(3):346-350.
- 徐东彬,刘昌平,黄磊. 基于概率统计自适应背景模型的运动目标检测方法. ZTu, **13**(2):351-358.
- 徐剑,丁晓青,王生进. 基于目标存在概率场的多视角运动目标检测与对应算法. ZX, **34**(5):609-612.
- 严晓玲,梁博,曾贵华. 基于分块运动估计的对象跟踪方法. ZTu, **13**(10):1869-1872.
- 杨国鹏,余旭初,陈伟等. 基于核 Fisher 判别分析的高光谱遥感影像分类. YX, **12**(4):579-585.
- 杨志国,黄晓涛,周智敏. 一种基于连通分析的 UWB SAR 目标检测算法. ZTu, **13**(7):1309-1315.
- 袁非牛,张永明,刘士兴等. 基于累积量和主运动方向的视频烟雾检测方法. ZTu, **13**(4):808-813.
- 曾艳,于灏. 一种新的道路交通背景提取算法及研究. ZTu, **13**(3):593-599.
- 张东波,王耀南. 基于粗糙集约简的神经网络集成及其遥感图像分类应用. ZTu, **13**(3):480-487.
- 张海青,李厚强. 基于多线索的目标跟踪. ZTu, **13**(11):2187-2196.
- 张海青,李厚强. 基于蒙特卡罗方法的目标跟踪. ZTu, **13**(5):937-943.
- 张海英,温玄,张田文. 低信噪比多目标检测的贪心算法. JX, **31**(1):142-150.
- 张志伟,杨帆,夏克文等. 一种有监督的 LPP 算法及其在人脸识别中的应用. Dxx, **30**(3):539-541.
- 赵晶晶,谌海新,刘星彤. 能量累积与均值漂移聚类结合的红外小目标检测方法. ZTu, **13**(10):1878-1881.
- 周日贵,姜楠,丁秋林. 量子 Hopfield 神经网络及图像识别. ZTu, **13**(1):119-123.
- 周绍光,徐勇. 在高分辨率遥感影像中提取无清晰连续边缘线的道路. CX, **37**(3):301-307.

- 周晓光,匡纲要,万建伟. 极化 SAR 图像分类综述. XC, **24**(5):806-812.
- 朱碧婷,郑世宝. 基于高斯混合模型的空间域背景分离法及阴影消除法. ZTu, **13**(10):1906-1909.
- 朱琳,周杰,宋靖雁. 一种新的基于在线采样的多物体跟踪方法. JX, **31**(1):151-160.
- 左军毅,梁彦,潘泉等. 基于多个颜色分布模型的 Camshift 跟踪算法. ZX, **34**(7):736-742.
- 左军毅,梁彦,赵春晖等. Mean Shift 跟踪算法中尺度自适应策略的研究. ZTu, **13**(9):1750-1757.
- 左军毅,梁彦,赵春晖等. 基于熵图像和隶属度图的高斯混合背景模型. Dxx, **30**(8):1918-1922.
- 左军毅,梁彦,赵春晖等. 一种新的基于 Mean Shift 的目标三自由度跟踪算法. Dxx, **30**(1):172-175.

### B5: 人体生物特征提取和验证 (70 篇)

- 车昊,黄磊,刘迎建等. 一个基于多层结构的快速眼睛定位算法. ZTu, **13**(3):472-479.
- 董硕,罗述谦. 基于活动形状模型的人脸识别. ZS, **27**(2):244-249.
- 冯涛,张士伟,刘其真. 一种基于捕捉有效域的快速指纹特征提取算法. ZTu, **13**(10):1857-1860.
- 高建坡,王煜坚,杨浩等. 一种新的基于直接最小二乘椭圆拟合的肤色检测方法. XC, **24**(2):192-196.
- 顾磊,吴慧中,肖亮. 一种基于多区域侧影面积的步态识别方法. MR, **21**(5):658-663.
- 郭志波,华继钊,严云洋等. 基于双阈值继承型 AdaBoost 算法的人脸快速检测. SC, **23**(3):306-310.
- 郭志波,刘华军,郑宇杰等. 基于 PCA 和 LDA 统一化原理的增强型线性鉴别分析准则. ZTu, **13**(4):702-708.
- 韩柯,朱秀昌,王汇源. 一种基于复数域中二维特征提取的人脸识别方法. Dxx, **30**(1):185-189.
- 何良华,胡蝶,蒋昌俊. 主动形状模型中搜索过程与搜索空间的改进. MR, **21**(3):394-400.
- 洪泉,陈松灿,倪雷雪. 子模式典型相关分析及其在人脸识别中的应用. ZX, **34**(1):21-30.
- 华顺刚,周羽,刘婷. 基于 PCA + LDA 的热红外成像人脸识别. MR, **21**(2):160-164.
- 江淑红,都明非,张建秋等. 快速超复数傅氏变换和超复数互相关的新算法及应用. DX, **36**(1):100-105.
- 姜文瀚,周晓飞,杨静宇. 基于样本选择的最近邻凸包分类器. ZTu, **13**(1):109-113.
- 孔万增,朱善安. 中心近邻嵌入学习算法的人脸识别研究. ZTu, **13**(4):691-695.
- 郎方年,周激流,闰斌等. 四元数矩阵正交特征向量系的求解方法及其在彩色人脸识别中的应用. ZX, **34**(2):124-129.
- 李宏友,汪同庆,叶俊勇等. 基于 3D OGHM 的视频运动

- 目标检测算法. DX, **36**(3):604-608.
- 李君宝,潘正祥.一种基于核的监督流形学习算法. MR, **21**(3):389-393.
  - 李乐,章毓晋.利用符号假设检验比较两类 PCA 人脸识别算法. MR, **21**(4):432-440.
  - 李同治,丁晓青,王生进.利用级联 SVM 的人体检测方法. ZTu, **13**(3):566-570.
  - 李旭东,张振跃.人脸表情的形变线性拟合方法. ZX, **34**(5):593-596.
  - 李勇智,杨静宇,吴松松.一种组合类别信息的核主成分分析方法. MR, **21**(3):410-416.
  - 李勇周,罗大庸,刘少强.基于正则化最小二乘的局部判别投影的人脸识别. MR, **21**(5):709-712.
  - 李勇周,罗大庸,刘少强.张量局部判别投影的人脸识别. DX, **36**(10):2070-2075.
  - 李玉鑑,李星立.基于离散 HMM 的眉毛识别方法研究. ZTu, **13**(8):1465-1469.
  - 林宇生,王建国,杨静宇.一种对角 LDA 算法及其在人脸识别上的应用. ZTu, **13**(4):686-690.
  - 林玉娥,顾国昌,刘海波.一种改进的不相关空间算法及其在人脸识别中的应用. MR, **21**(5):615-620.
  - 刘永俊,陈才扣,王正群.修正的最大散度差鉴别分析及人脸识别. DxX, **30**(1):190-193.
  - 罗荣芳,林土胜.基于离散余弦变换的手指指节折痕识别. SC, **23**(2):129-134.
  - 罗亚兰,陈锻生.基于彩色 Gabor 特征的人脸识别技术. ZTu, **13**(2):242-246.
  - 庞彦伟,刘政凯.一种自动抑制离群点的子空间学习方法. DxX, **30**(1):176-179.
  - 彭章平,彭小奇,伍更新.基于非平稳信号频谱分析的指纹图像增强算法. SC, **23**(1):35-39.
  - 卿湘运,王行愚.概率二维主分量分析. ZX, **34**(3):353-359.
  - 邱天爽,杨春晖.一种基于改进近邻分类器的人脸识别方法. XC, **24**(1):54-57.
  - 孙农亮,于雯雯,曹茂永.基于 PCA 和 ICA 的虹膜识别方法. ZTu, **13**(9):1701-1706.
  - 孙昀,刘富强,李志鹏.基于空间梯度直方图的行人检测算法. ZTu, **13**(10):1825-1828.
  - 唐京海,张有为.基于 HMM 的无溢出高维样本集正态规整方法. MR, **21**(3):363-368.
  - 唐亮,熊蓉,褚健.单样本条件下权重模块 2DPCA 人脸识别. ZTu, **13**(12):2307-2313.
  - 田启川,刘正光,潘泉等.基于稳定特征的虹膜分类算法. DX, **36**(4):760-771.
  - 王建国,杨万扣,郑宇杰等.一种基于 ICA 和模糊 LDA 的特征提取方法. MR, **21**(6):819-823.
  - 王科俊,段胜利,冯伟兴.单训练样本人脸识别技术综述. MR, **21**(5):635-642.
  - 王上飞,薛佳,王煦法.基于人脑情感注意回路的表情识别. MR, **21**(5):598-602.
  - 王卫东,杨静宇.采用虚拟训练样本的二次判别分析方法. ZX, **34**(4):400-407.
  - 王艳霞,阮秋琦.一种新的掌纹图像预处理方法. ZTu, **13**(6):1115-1122.
  - 王艳霞,阮秋琦.一种掌纹纹线结构特征的描述和匹配方法. DxX, **30**(6):1281-1285.
  - 夏思宇,李久贤,袁晓辉等.一种基于 Contourlet 变换的人脸识别方法. XC, **24**(4):631-634.
  - 徐琴珍,章品正,裴文江等.基于混淆交叉支撑向量机树的自动面部表情分类方法. ZTu, **13**(7):1329-1334.
  - 徐勇,杨健,赵英男等.一种缩减图像维度的方法及其在人脸图像上的应用. DxX, **30**(1):180-184.
  - 严严,章毓晋.鉴别投影嵌入及其在人脸识别中的应用. DxX, **30**(12):2902-2905.
  - 杨万扣,任明武,杨静宇.基于对称二维主成分分析的人脸识别. MR, **21**(3):326-331.
  - 杨欣,费树峨,陈丽娟.小样本条件下基于全局和局部特征融合的人脸识别. XC, **24**(1):49-53.
  - 杨欣,费树峨,陈丽娟等.基于类矩阵和特征融合的加权自适应人脸识别. ZTu, **13**(5):930-936.
  - 杨之光,艾海舟.基于形状无关纹理和 Boosting 学习的人口统计学分类. DxX, **30**(3):721-724.
  - 应自炉,唐京海,李景文等.支持向量鉴别分析及在人脸表情识别中的应用. DX, **36**(4):725-730.
  - 于海滨,刘济林.应用于公交客流统计的机器视觉方法. ZTu, **13**(4):716-722.
  - 余庆,杜吉祥.基于一种改进 NMF 算法的人脸年龄估计方法. ZTu, **13**(10):1865-1868.
  - 袁海军,文玉梅,李平等.采用不变矩傅氏级数表示的步态识别. ZTu, **13**(12):2329-2337.
  - 曾丹,程义民,葛仕明等.人眼多线谱及其获取. DxX, **30**(5):1122-1126.
  - 詹曙,常虹,蒋建国.基于相关型图像传感器 3 维人脸成像的 3 维 AAMs 人脸识别方法的研究. ZTu, **13**(10):2059-2062.
  - 张焱,张志龙,沈振康等.基于动态显著性特征的粒子滤波多目标跟踪算法. DX, **36**(12):2306-2311.
  - 张熠,熊飞,张桂林.一种光照不变人脸识别的预处理算法. ZTu, **13**(9):1707-1712.
  - 张莹,王耀南.基于 Gabor 滤波器包络的人脸识别算法. ZTu, **13**(12):2314-2320.
  - 章品正,徐琴珍,王征.基于神经网络树的面部表情自动分类方法. SC, **23**(3):311-316.

- 赵传强,王汇源,吴晓娟.基于 DCT 的改进零空间人脸识别算法. *DxX*,**30**(7):1708-1712.
- 郑芳颖,赵杰煜.基于改进型嵌入式隐马尔可夫模型的表情识别方法. *MR*,**21**(6):836-842.
- 仲琛肖,南峰.基于分形编码图形表示的人脸识别算法研究. *ZTu*,**13**(4):678-685.
- 周昌军,白春光,魏小鹏等.基于个人特征脸图像重构的人脸识别. *SC*,**23**(6):687-690.
- 周千昊,戚飞虎.基于改进 EOH 特征的行人检测. *ZTu*,**13**(10):1861-1864.
- 周书仁,梁昔明,朱灿等.基于 ICA 与 HMM 的表情识别. *ZTu*,**13**(12):2321-2328.
- 周晓飞,姜文瀚,杨静宇.仿射子空间最近点分类算法. *ZTu*,**13**(8):1506-1510.
- 周志铭,余松煜,张瑞等.一种基于 SIFT 算子的人脸识别方法. *ZTu*,**13**(10):1882-1885.

## C:图像理解(共 130 篇)

### C1:图像匹配和融合等(69 篇)

- 曹广真,侯鹏,金亚秋等.基于改进证据理论的多时相微波遥感图像融合及在城区地表变化检测中的应用. *DxX*,**30**(8):1897-1900.
- 陈尔学,李增元,田听等.尺度不变特征变换法在 SAR 影像匹配中的应用. *ZX*,**34**(8):861-868.
- 陈沈轶,钱徽,吴铮等.基于图分割与 Hausdorff 距离的多分辨率影像匹配. *ZTu*,**13**(6):1185-1190.
- 程亮,龚健雅,宋小刚等.面向宽基线立体影像匹配的高质量仿射不变特征提取方法. *CX*,**37**(1):77-82.
- 楚恒,王汝言,朱维乐. DCT 域遥感影像融合算法. *CX*,**37**(1):70-76.
- 邓宝松,高宇,魏迎梅等.图像匹配中具有仿射不变性特征的定量分析. *XC*,**24**(2):227-232.
- 邓宝松,高宇,魏迎梅等.一种评价仿射不变性特征定位误差的新方法. *ZTu*,**13**(2):291-297.
- 邸韡,潘泉,赵永强等.高光谱图像波段子集模糊积分融合异常检测. *DxX*,**30**(2):267-271.
- 范俐捷,高鑫,王岩飞等.一种快速多模态图像匹配导航方案. *DxX*,**30**(12):2876-2880.
- 范俐捷,王岩飞,高鑫.基于 PIU 测度和遗传算法的图像匹配方法. *SC*,**23**(2):141-145.
- 付丽琴,韩焱.射线图像的立体匹配技术研究. *ZTu*,**13**(12):2363-2367.
- 高文涛,汪小钦,凌飞龙等.基于纹理的雷达与多光谱遥感数据小波融合研究. *ZTu*,**13**(7):1341-1346.
- 郭大波,卢朝阳,焦卫东等.立体图像的遮挡边界区域检测技术. *ZTi*,**13**(1):17-20.
- 郝燕玲,王众.基于 SNN 核的景象匹配算法. *ZX*,**34**(12):1475-1482.
- 何贵青,陈世浩,田穰等.多传感器图像融合效果综合评价研究. *JX*,**31**(3):486-492.
- 胡栋材,赵歆波,张定华等.自适应遗传算法配准三维数字样品模型及其 CAD 模型. *CT*,**17**(2):8-14.
- 胡静,张天序,林两魁.时空谱点源目标自适应滤波检测算法. *JX*,**31**(1):161-169.
- 霍春雷,程健,卢汉清等.基于多尺度融合的对象级变化检测新方法. *ZX*,**34**(3):251-257.
- 贾宇平,李亚楠,付耀文等.一种基于灰色定权聚类的决策层融合目标识别算法. *DxX*,**30**(2):255-258.
- 蒋年德,王耀南,毛建旭.基于 2 代 Curvelet 改进 IHS 变换的遥感图像融合. *ZTu*,**13**(12):2376-2382.
- 康海洋,王杰生,何国金.基于有向模板和颜色加权 SVD 的图像匹配算法. *ZTu*,**13**(6):1177-1184.
- 康志忠.近景数码影像中墙面纹理自动拼接方法的研究. *ZTu*,**13**(12):2368-2375.
- 雷琳,蔡红苹,唐涛等.基于 MSA 特征的遥感图像多目标关联算法. *YX*,**12**(4):586-592.
- 冷雪飞,刘建业,熊智.基于遗传算法的导航实时图像匹配算法. *TX*,**29**(2):17-21.
- 黎俊,彭启民,范植华.亚像素级图像配准算法研究. *ZTu*,**13**(11):2070-2075.
- 李从利,薛模根,冷晓艳等.空中侦察序列图像连续拼接的累积误差分析与消除. *ZTu*,**13**(4):814-819.
- 李静,杨涛,潘泉等.基于不变特征的运动视频序列自动配准算法. *ZTu*,**13**(2):335-344.
- 李敏,蔡骋,谈正.基于修正 PCNN 的多传感器图像融合方法. *ZTu*,**13**(2):284-290.
- 李晓明,张继福.一种基于学习的自动图像配准检验方法. *ZX*,**34**(1):7-13.
- 廖秀秀,于慧敏,扬威.基于隐含形状表示和边缘信息融合的非刚体图像配准. *ZS*,**27**(3):340-346.
- 林惊,王涌天,刘越等.基于模板跟踪的实时无标志点注册算法. *ZTu*,**13**(9):1812-1819.
- 刘丽,苏敏.基于小波变换和互信息的医学图像配准. *ZTu*,**13**(6):1171-1176.
- 刘煜,李言俊,张科.飞行器下视影像边缘提取和定位方法研究. *ZTu*,**13**(11):2170-2175.
- 卢振泰,冯衍秋,冯前进等.基于主相位一致性的医学图像配准. *DX*,**36**(10):1974-1978.
- 吕金建,文贡坚,李德仁.一种基于虚拟三角形的图像自动配准方法. *XC*,**24**(5):737-741.
- 吕金建,文贡坚,李德仁等.一种新的基于空间关系的特征匹配方法. *CX*,**37**(3):367-373.
- 罗丽,王珂,王瑾.基于 à trous-Contourlet 变换的梯度选择遥感图像融合算法. *ZTu*,**13**(6):1128-1133.

- 马丽涛,杨丹,张小洪等.一种新的基于条件数的图像配准算法. ZTu, **13**(2):277-283.
  - 马艳军,徐立中,汤敏等.遥感图像融合的非采样 Contourlet 变换方法. ZTu, **13**(11):2209-2216.
  - 苗启广,王宝树.基于局部对比度的自适应 PCNN 图像融合. JX, **31**(5):875-880.
  - 明安龙,马华东.多摄像机之间基于区域 SIFT 描述子的目标匹配. JX, **31**(4):650-651.
  - 欧阳祥波,宗志坚,熊会元.基于标志点的测量数据自动拼接方法. ZTu, **13**(2):298-301.
  - 彭文,童若锋,钱归平等.基于轮廓与特征点的医学图像弹性配准方法. ZTu, **13**(9):1777-1782.
  - 彭文,童若锋,钱归平等.使用特征点与灰度值的医学图像局部配准方法. ZTu, **13**(5):944-950.
  - 荣成城,曹国刚,罗立民等.基于多分辨率策略的弹性配准方法. SC, **23**(4):430-435.
  - 孙瑾,顾宏斌,秦小麟等.一种鲁棒型 Hausdorff 距离图像匹配方法. ZTu, **13**(4):761-767.
  - 孙巍,王珂,袁国良等.基于复数小波域的多聚焦图像融合. ZTu, **13**(5):951-957.
  - 汤敏,王惠南.生物组织连续切片的两步配准及快速重建. ZTu, **13**(9):1771-1776.
  - 汤敏.结合形态学梯度互信息和多分辨率寻优的图像配准新方法. ZX, **34**(3):246-250.
  - 王丽,卢迪,吕剑飞.一种基于小波方向对比度的多聚焦图像融合方法. ZTu, **13**(1):145-150.
  - 王晓宇,陈吉红,李知践等.具有敏感区域的华南虎图像配准研究. ZTu, **13**(11):2203-2208.
  - 文成林,郭超,高敬礼.多传感器多尺度图像信息融合算法. DX, **36**(5):840-847.
  - 吴一全,陈飒,罗子娟.基于无下采样 Contourlet 变换的图像融合. ZTi, **13**(2):111-115.
  - 徐帆,方磊,田文等. GMSAC——一种鲁棒的基于高斯混合模型的基础矩阵估计算法. ZTu, **13**(9):1789-1795.
  - 徐小明,杨丹,张小洪等.基于局部不变映射的特征描述器算法. ZX, **34**(9):1174-1177.
  - 杨静,胡顺波,刘常春等.基于简单 Schur 凹函数的图像配准测度研究. DX, **36**(12):2328-2322.
  - 杨烜,裴继红,张智雄.图像局部弹性变换中径向基函数紧支撑集的选取. DxX, **30**(12):2898-2901.
  - 杨延西,刘丁,辛菁.基于混沌粒子群优化的图像相关匹配算法研究. DxX, **30**(3):529-533.
  - 殷润民,李伯虎,柴旭东.自适应柱状全景图拼接. ZTu, **13**(6):1191-1196.
  - 余二永,王润生,徐学文.基于统计模型的遥感图像多分辨率融合方法. DX, **36**(3):490-493.
  - 云挺,顾磊,吴慧中.基于 Zernike 矩的区域匹配方法. ZTu, **13**(8):1517-1524.
  - 张浩峰,赵春霞.一种利用动态规划和左右一致性的立体匹配算法. ZTu, **13**(4):756-760.
  - 张加万,李谭,孙济洲.基于 Dividing Rectangles 的多模态医学图像配准算法. ZTu, **13**(4):749-755.
  - 张泾周,李婷,吴疆.医学图像的小波变换融合算法研究. ZS, **27**(4):521-525.
  - 张强,郭宝龙.基于非采样变换多传感器图像融合算法. ZX, **34**(2):135-141.
  - 赵巍,黄晶晶,田斌.基于感受野模型的图像融合算法研究. DX, **36**(9):1665-1669.
  - 郑德华,岳杰东,岳建平.基于几何特征约束的建筑物点云配准算法. CX, **37**(4):464-468.
  - 周秀芝,王润生.基于像元集的置信传递立体匹配. ZTu, **13**(3):506-512.
  - 周钟娜,陈昕,徐守时.基于目标关联的多源卫星遥感图像兵营融合检测方法. YX, **12**(1):77-84.
- ### C2: 场景恢复 (10 篇)
- 蔡伟柯,文贡坚,叶飞.一种基于模型的单相机姿态估计方法. ZTu, **13**(3):513-518.
  - 丁辉,付梦印,王美玲.基于 NSCT 的 SMP 立体匹配算法研究. DX, **36**(4):777-781.
  - 侯文广,陈大为,丁明跃.一种基于多重影像实现真实感人脸三维重建的方法. DX, **36**(4):661-666.
  - 马建林,崔志明,龚声蓉等.一种基于 ROI 的自适应三维医学图像插值方法. ZTu, **13**(8):1525-1531.
  - 钱鑫,胡跃辉,吕国强等.一种用于立体感增强的 SFS 改进算法. ZTu, **13**(9):1766-1770.
  - 王子璇.利用角度签名进行 3 维表面配准. ZTu, **13**(8):1538-1543.
  - 武维生,张海,沈威等.裸眼立体显示中 3D 模型多视点影像提取. ZTi, **13**(1):38-41.
  - 杨化超,邓喀中,张书毕等.数字近景摄影测量技术在矿山地表沉降监测中的应用研究. ZTu, **13**(3):519-524.
  - 于永彦,于长辉.基于对称物体的 3 维重构技术研究. ZTu, **13**(11):2197-2202.
  - 朱经纬,蒙培生,王乘.一种改进的 MC 算法. ZTu, **13**(7):1359-1366.
- ### C3: 图像感知和解释 (5 篇)
- 范学刚,王正志,黄教民.一个基于生物视觉的单目运动方向检测模型. ZTu, **13**(1):137-144.
  - 邵静,高隼.基于协同感知的视觉选择注意计算模型. ZTu, **13**(1):129-136.
  - 汤一平,柳圣军,周超等.多视觉信息融合的内河航道智能监控系统. ZTu, **13**(8):1608-1616.
  - 万月亮,曹元大,李钝.基于全局约束的层次视知觉编组模型研究. DxX, **30**(9):2152-2155.

- 于江波,陈后金,李居朋.视觉选择注意机制模型及其应用. DC, **22**(4):100-103.

#### C4: 基于内容的图像和视频检索 (38 篇)

- 卜庆凯,胡爱群.一种面向用户的体育视频精彩内容提取方法. MR, **21**(6):782-786.
- 蔡蕾,王珂,张立保.基于复数小波域广义高斯分布模型的纹理图像检索. ZTu, **13**(11):2217-2223.
- 曹建荣,蔡安妮.压缩域中基于支持向量机的镜头边界检测算法. DX, **36**(1):203-208.
- 邓丽,金立左,费树岷.一种有效的视频镜头检索方法研究. DC, **22**(1):58-61.
- 郝红卫,黄芳益,周静.基于 ROI 与 MCS 的图像检索方法. MR, **21**(2):240-245.
- 黄春木,周利莉.密度分布特征及其在二值图像检索中的应用. ZTu, **13**(2):307-311.
- 黄剑华,承恒达,吴锐等.基于模糊同质性映射的文本检测方法. DxX, **30**(6):1376-1380.
- 黄庆明,郑轶佳,蒋树强等.基于用户关注空间与注意力分析的视频精彩摘要与排序. JX, **31**(9):1612-1621.
- 刘安文,支琤,张瑞等.基于语义概念的视频检索系统的设计与实现. ZTu, **13**(10):2055-2058.
- 刘广海,杨静宇.基于四像素共生矩阵的图像检索. ZTu, **13**(9):1783-1788.
- 刘洁敏,姚豫,张瑞等.基于局部颜色-空间特征的图像语义概念检测. ZTu, **13**(10):1890-1893.
- 柳伟,代科学,卢鑫等.监控视频聚簇模式挖掘及其应用. SC, **23**(4):459-466.
- 卢汉清,刘静.基于图学习的自动图像标注. JX, **31**(9):1629-1639.
- 潘翔,郑河荣,陈启华.基于径向夹角直方图的三维模型检索. ZTu, **13**(8):1532-1537.
- 邱兆文,张田文.基于用户多媒体数据管理模型的个性化图像检索. DX, **36**(9):1746-1749.
- 宋雁澜,张瑞,支琤等.一种基于视觉注意模型的图像分类方法. ZTu, **13**(10):1886-1889.
- 唐勇,张学范.基于整数中轴骨架的三维模型检索算法. ZTu, **13**(2):302-306.
- 唐振军,王朔中,魏为民等.用于图像 Hash 的视觉相似度客观评价测度. ZTu, **13**(10):2039-2042.
- 童晓峰,刘青山,卢汉清.体育视频分析. JX, **31**(7):1242-1251.
- 王桂婷,郭志芳,焦李成.基于区域色彩纹理特征描述和 DPF 匹配的图像检索. DxX, **30**(5):1113-1117.
- 王曼,彭国华,叶正麟等.基于优势集聚类和支撑向量机的图像检索. MR, **21**(5):689-694.
- 文海东,马华东,黄晓冬.基于梯度与粗糙度的视频文本检测与定位. DX, **36**(8):1660-1664.
- 吴介,裘正定.底层内容特征的融合在图像检索中的研究进展. ZTu, **13**(2):189-197.
- 夏利民,谭立球,钟洪.基于信息瓶颈算法的图像语义标注. MR, **21**(6):812-818.
- 谢邦旺,王加俊.一种基于轮廓的图像检索算法. ZTu, **13**(7):1367-1373.
- 颜红波,刘志,张兆杨.一种面向移动设备的实时足球视频智能播放方案. ZTu, **13**(10):1991-1994.
- 杨红颖,吴俊峰,于永健等.一种基于 HSV 空间的彩色边缘图像检索方法. ZTu, **13**(10):2035-2038.
- 杨之光,艾海舟.基于聚类的人脸图像检索及相关反馈. ZX, **34**(9):1033-1039.
- 于俊清,王宁.基于子窗口区域的足球视频镜头分类. ZTu, **13**(7):1347-1352.
- 翟素兰,罗斌,张春燕.基于流形学习和混合模型的视频摘要方法. ZTu, **13**(4):735-740.
- 张鸿,吴飞,庄越挺等.一种基于内容相关性的跨媒体检索方法. JX, **31**(5):810-819.
- 张菁,沈兰荪.基于视觉感知的图像检索的研究. DX, **36**(3):494-499.
- 张雪波,方勇纯,马博军.基于虚拟势场法的全局收敛视觉路径规划. ZX, **34**(10):1243-1249.
- 赵峰,荆涛,王士林等.基于图像内容及底层特征的敏感图像检测方法. XC, **24**(6):960-965.
- 赵玉凤,赵耀,朱振峰.贝叶斯框架下基于区域的相关反馈算法. DxX, **30**(4):937-940.
- 周之昊,王士同.在线聚类算法用于基于内容的镜头检索. SC, **23**(1):84-88.
- 朱才志,吴秀清,周晓等.视频相册系统. ZTu, **13**(8):1544-1553.
- 朱秋煜,王朔中.图像特征检测和马氏距离中的数据融合与置信度. DxX, **30**(3):534-538.

#### C5: 时空技术 (8 篇)

- 谷军霞,丁晓青,王生进.基于半监督聚类的三维肢体分割算法. ZTu, **13**(3):558-565.
- 胡步发,邱丽梅.基于多点模型的 3D 人脸姿态估计方法. ZTu, **13**(7):1353-1358.
- 胡芝兰,江帆,王贵锦等.基于运动方向的异常行为检测. ZX, **34**(11):1348-1357.
- 罗军,江和平,沈振康.基于匹配跟踪置信度的自适应对应像素距离图像匹配跟踪算法. XC, **24**(1):72-77.
- 王绍宇,戚飞虎,夏小玲.基于 MDL Shape Model 及 EFD 的行人轮廓 2D + time 表示. ZTu, **13**(10):1898-1901.
- 向坚,叶绿,朱红丽.基于子空间集成学习的三维人体运动识别. ZTu, **13**(10):2003-2006.
- 于舟,张瑞,杨小康.基于视觉注意模型和 HMM 的足球视频语义分析. ZTu, **13**(10):2031-2034.

- 张焱,沈振康,乔士东.一种改进型的粒子滤波器. XC, **24**(1):58-61.

## D:技术应用(共196篇)

### D1:硬件、系统和快速算法(20篇)

- 谌家喜,周荷琴,许鹏等. DR 图像采集中的信号控制与图像规整算法. SC, **23**(3):250-253.
- 洪占勇,邓善熙.多分辨率非整数倍图像缩放的硬件快速算法. DC, **22**(5):78-82.
- 李剑峰,汤青,王鹏等.一种获取物体三维信息的多轴机器人激光扫描系统. ZTu, **13**(4):741-748.
- 李健,乔飞,罗嵘等.无 SRAM 的 H. 264/AVC 去块效应滤波器. DxX, **30**(8):2012-2016.
- 李立,金华标,陈智君等.基于 FPGA 和 DSP 的高分辨率图像采集系统. SC, **23**(1):117-122.
- 刘少华,熊志辉,包卫东等.基于 DSP 的低码率实时视频编码器设计与实现. DxX, **30**(4):945-948.
- 刘圆圆,赵自然,陈志强等.一种基于  $\mu$  子进行核材料探测成像的模拟系统. ZTi, **13**(2):102-105.
- 宋立锋,戴青云. H. 264 实时编码的指令 Cache 优化. DX, **36**(8):1615-1619.
- 孙书为,陈书明,刘祥远. CABAC 熵编码机制下有效的变换域码率估计技术. DX, **36**(8):1512-1518.
- 田昕,谭毅华,田金文.一种并行提升小波基的设计方法与 VLSI 实现研究. JX, **31**(3):411-418.
- 王风琴,黄敏,邓璐娟等.基于 H. 264/AVC 的快速帧内预测模式决策方法. SC, **23**(6):696-701.
- 王继东,罗武胜,鲁琴等.改进的零树编码算法及其 DSP 实现. SC, **23**(4):420-424.
- 王洁,张淑燕,刘涛等.基于 FPGA 的嵌入式多核处理器及 SUSAN 算法并行化. JX, **31**(11):1995-2004.
- 王书宏,王卫华,陈曾平.一种强背景下点目标检测算法及硬件实现. XC, **24**(5):709-712.
- 魏波,张爱武,李佑钢等.车载三维数据获取与处理系统设计与实现. ZTi, **13**(1):30-33.
- 徐金波,窦勇.面向多兴趣区域图像处理应用的高效无冲突并行访问存储模型. JX, **31**(11):2015-2025.
- 徐新萍,赵鹏,王晓民等.基于 RFID 技术的多模态生物特征识别系统设计. ZTi, **13**(3):188-192.
- 张辉,夏明新,焦骞等.基于 FPGA 的实时 X 线医学图像处理系统. ZS, **27**(1):39-44.
- 张益林,徐雄,杨宇红.一种适用于 H. 264/AVC 宏块级反变换编码的 IP 核设计. ZTu, **13**(10):2019-2022.
- 赵永利,陈进成,马健等.基于块特性与自适应搜索窗口的运动估计算法. SC, **23**(3):273-277.
- ZTu, **13**(12):2251-2259.
- 邓勤耕,高新波,路文.基于单元尺度的自适应码率控制算法. ZTu, **13**(11):2093-2098.
- 费伟,朱善安.低延时无线视频传输中的 H. 264 码率控制算法. ZTu, **13**(11):2099-2105.
- 高雪娟,卓力,沈兰荪.基于 H. 264 率失真模型的无线信源信道联合编码方案. TX, **29**(9):24-31.
- 葛仕明,程义民,曾丹等.基于边缘方向投影的图像块修复方法. TX, **29**(1):30-38.
- 李彬,黄峰,孙立峰等.一种鲁棒灵活的非平衡多描述视频编码和传输方案. JX, **31**(7):1155-1164.
- 李凯慧,吴志美,张源海等.支持 VBR 编码视频的有效平滑算法. TX, **29**(1):97-103.
- 李莉,侯正信,王成优等.基于自适应双向运动估计的帧速率上转换算法. ZTu, **13**(10):2007-2010.
- 刘洁瑜,张德运.基于人眼感知预测的 JPEG2000 码率控制算法. DxX, **30**(5):1198-1202.
- 刘洁瑜,张德运.基于运动预测的 Motion JPEG2000 误码掩饰新算法. XC, **24**(3):516-520.
- 邱扬,闰美云,经纬等.基于抖动及图像融合的计算机视频信息防泄漏研究. DX, **36**(12):2493-2496.
- 邱扬,魏丽丽,田锦等.基于数字滤波的计算机视频信息防泄漏研究. DX, **36**(6):1188-1192.
- 石迎波,吴成柯,周有喜等.用于分级视频流的无线信道顽健传输方案. TX, **29**(7):14-19.
- 王翔,谢廷俊,陆建华.基于抗差错算术编码的不等差错保护图像传输方法. DX, **36**(4):685-689.
- 夏定元,卢姗,吴通.一种基本单元层码率控制的改进算法. ZTu, **13**(10):2011-2014.
- 徐龙,高文,季向阳等.一种面向 SVC 的码率控制算法. JX, **31**(7):1175-1184.
- 杨文勇,黄晁,李锦涛等. AVS 视频解码的错误检测与掩盖方法. ZTu, **13**(11):2106-2111.
- 张欢欢,王进,刘运强等. AVS 基于场景变换检测的自适应误码掩盖. SC, **23**(3):317-321.
- 赵小青,倪林.差错信道下基于框架扩展的高效多描述图像编码. DxX, **30**(8):1836-1840.

### D3:文档(17篇)

- 曹国刚,周正东,荣成城等.一种影像增强器失真图像的校正方法. SC, **23**(4):415-419.
- 程豪,黄磊,刘昌平等.基于笔画和 Adaboost 的两层视频文字定位算法. ZX, **34**(10):1312-1318.
- 程娟,平西建,周冠玮.基于多特征和 SVM 的文本图像版面分类方法. SC, **23**(5):569-574.
- 付强,丁晓青,蒋焰.基于多信息融合的中文手写地址字符串切分与识别. DxX, **30**(12):2916-2920.
- 谷军霞,丁晓青.小写金额的多模式切分与识别算法.

### D2:通信、视频传输(19篇)

- 毕迎春,王相海.视频传输中的码率控制技术研究进展.

ZTu, **13**(4):696-701.

- 刘真真,王茂基,李永忠等.基于分形矩的印刷体藏文特征提取方法. MR, **21**(5):654-657.
- 宋怀波,路长厚,李建美等.标牌图像的旋转不变性矢量提取及其 PCA 子空间识别. MR, **21**(6):824-830.
- 孙广玲.手写字符识别的非线性主动判别函数. ZTu, **13**(10):1853-1856.
- 田伟,乔谊正.结合模糊理论的动态匹配脱机签名鉴定研究. ZTu, **13**(1):124-128.
- 田伟,乔谊正,马志强.基于模糊模型最优化规则的脱机签名鉴定研究. MR, **21**(1):122-127.
- 王海涛,黄文杰,朱永凯等.基于聚类分析与神经网络的车牌字符识别. SC, **23**(2):238-242.
- 王建平,李帷韬,王金玲等.一种基于仿生识别的脱机手写体汉字识别方法. MR, **21**(1):62-71.
- 王恺,靳简明,史广顺等.基于特征点的汉字字体识别研究. DxX, **30**(2):272-276.
- 王淑侠,高满屯,齐乐华.基于模糊理论的在线手绘图识别. MR, **21**(3):317-325.
- 张志伟,孔凡让,柴华.从 Postscript 格式文献中提取数学公式的方法. SC, **23**(4):454-458.
- 郑天翔,谢亮,杨力华.基于混合二值化的表格手写数字串的完整提取. MR, **21**(3):369-375.
- 朱华光,平西建,程娟.基于二元树复数小波变换的文种自动识别. SC, **23**(6):766-771.

#### D4: 生物、医学 (37 篇)

- 陈洪波,汤井田,陈真诚.基于 PCA-LDA 的 HIFU 治疗中组织损伤无损检测方法. ZS, **27**(6):812-816.
- 陈晓艳,王化祥,石小累等.人体肺功能生物电阻抗成像技术. ZS, **27**(5):663-668.
- 储颖,糜华,纪震.基于加权直方图的数字减影图像矫正算法. DX, **36**(7):1338-1343.
- 董为.大熊猫化石副鼻窦的 3 维成像及其虚拟解剖. ZTu, **13**(8):1617-1621.
- 冯艳玲,陈真诚,何继善等.一种基于 B 超图像的亚像素级 HIFU 束损伤监控方法. ZS, **27**(3):366-371.
- 付宜利,肖永飞,高文朋等.基于三维纹理的医学体数据实时切割. ZS, **27**(3):372-377.
- 龚永义,罗笑南,贾维嘉等.基于改进的弹簧质子模型的医学图像配准. JX, **31**(7):1224-1233.
- 顾勇,龙在云,赵艳秋.基于快速整数提升小波变换的医学图像融合. SC, **23**(5):575-579.
- 郭圣文,曾庆思,陈坚.胸部 CT 中肺实质的提取与辅助诊断. ZS, **27**(5):788-791.
- 江贵平,周寿军.利用模糊识别算法分析冠状动脉造影图像中的血管结构. JX, **31**(1):170-175.
- 蓝鹏,蓝春生.伪彩色处理在口腔医学影像中的效用. ZTi, **13**(4):286-289.
- 李均利,魏平,侯艳芹等.一种基于模糊规则和小波变换的医学图像锐化增强算法. ZS, **27**(2):234-239.
- 李鹏程,曾绍群,骆清铭.脑皮层功能活动与病理状态光学检测方法研究进展. ZS, **27**(2):164-168.
- 林相波,邱天爽. Active Demons 可变形图像配准算法研究. ZS, **27**(4):636-640.
- 刘晶晶,张智,世碧波等.基于多尺度滤波的肝门静脉 CT 图像增强方法. ZTu, **13**(11):2117-2122.
- 刘军伟,李传富,吴欢等.改进的熵最小方法用于 MRI 偏差场的校正. ZS, **27**(6):867-871.
- 罗杨宇,徐静,鲁通等.基于磁定位器的手动三维超声图像标定. ZS, **27**(2):250-254.
- 普杰信,刘森,黄心汉等.基于相关分析的 fMRI 时间序列图像处理. ZS, **27**(6):854-859.
- 秦然. CT 脑血管图像的三维重建图形配准算法. DC, **22**(3):37-42.
- 邱学军,史荣,周纯武等.数字化重建人体立体 X 线透视图研究. ZTi, **13**(1):34-37.
- 孙丹萍,吴佳,张永红等.基于特征聚类的舌下络脉自动提取方法. ZS, **27**(2):265-269.
- 孙丰荣,刘泽,李艳玲等.一种改进的自适应形变模型及其血管内超声图像边缘提取应用. ZS, **27**(2):276-281.
- 孙农亮,许赛聪,曹茂永.约束参数 Gabor 滤波器及细胞分割. ZS, **27**(3):335-339.
- 唐奇伶,龚红燕,李艳西等.融合上下文信息的血管造影图像增强. DX, **36**(7):1456-1459.
- 万金鑫,宋余庆,董淑德等.医学图像灰度归一化显示技术研究. CT, **17**(4):67-75.
- 王安娜,张新华,谷召伟等.基于改进 Hausdorff 测度的医学图像配准算法. DX, **36**(11):2247-2250.
- 王天,张国鹏,刘欣等.虚拟结肠镜的计算机辅助检测研究. ZS, **27**(1):146-151.
- 王晓民,徐新萍,姜锡娟等.生物医学图像信息数据库的建立. ZTi, **13**(3):222-224.
- 王志刚,张正国.应用 MPEG27 建立乳腺 X 线影像数据库. ZS, **27**(2):260-264.
- 魏颖,郭薇,孙月芳等.基于局部灰度最大和改进 Mahalanobis 距离分类的肺结节检测算法. ZTu, **13**(9):1720-1726.
- 宣杭,齐敏,魏丽芳等.基于白 Top-Hat 变换的医学图像局部对比度增强算法. SC, **23**(6):683-686.
- 杨福刚,孙同景,宋松林.基于人工免疫算法的药液颗粒异物检测方法. DC, **22**(1):20-24.
- 姚俊杰,胡刚,岳蜀华等.用于荧光分子断层成像的小动物躯干部分三维表面轮廓重建研究. ZS, **27**(3):360-365.

- 袁晓虎,崔艳. 图像算法方式的细胞追踪. ZS, 27(3): 393-399.
- 张艳,陈春晓,张志强等. 基于代价函数掩模法的局部脑损伤 fMRI 数据处理. ZS, 27(6): 801-805.
- 张怡. 基于模糊识别技术的舌色图像计算机模式识别. ZTi, 13(4): 254-258.
- 庄天戈. 医学放射成像与医学影像信息学. ZS, 27(2): 169-174.

## D5: 遥感、雷达、测绘 (80 篇)

- 白静,侯彪,王爽等. 基于提升 Directionlet 域高斯混合尺度模型的 SAR 图像噪声抑制. JX, 31(7): 1234-1241.
- 常玉林,黄晓涛,周红等. 基于 ATI 的双通道 UWB SAR 运动目标检测和距离向速度估计. XC, 24(5): 742-746.
- 陈奋,赵忠明. 遥感影像反卷积复原处理. SC, 23(2): 168-175.
- 陈富龙,王超,张红等. 附带星历参数的星载合成孔径雷达影像自动配准算法. YX, 12(4): 553-560.
- 陈杰,朱晶,周荫清等. 复杂目标场景合成孔径雷达图像异质性分析与测量方法研究. DX, 36(9): 1687-1692.
- 陈强,匡纲要. 一种基于表面散射相似度的 SAR 图像极化增强方法. Dxx, 30(11): 2710-2709.
- 陈学泓,陈晋,杨伟等. 基于误差分析的组合分类器研究. YX, 12(5): 683-691.
- 承德宝. 基于多特征组的遥感图像中建筑物目标自动识别与标绘的方法. Dxx, 30(12): 2867-2870.
- 高贵,鲁敏,黄纪军等. 高分辨 SAR 图像中杂波的统计特性分析. XC, 24(4): 648-654.
- 高贵,周蝶飞,张军等. 基于遗传算法的 SAR 图像目标鉴别特征选择. DX, 36(6): 1041-1046.
- 侯水平,焦李成,张向荣等. 基于免疫克隆与核匹配追踪的快速图像目标识别. Dxx, 30(5): 1104-1108.
- 郭炜炜,杜小勇,胡卫东等. 基于稀疏先验的 SAR 图像目标方位角稳健估计方法. XC, 24(6): 889-893.
- 韩敏,孙杨,唐晓亮. 一种基于先验知识的矢量边界更新方法. YX, 12(1): 28-35.
- 韩鹏,龚健雅,李志林等. 遥感影像空间尺度上推方法的评价. YX, 12(6): 964-971.
- 何敏,何秀凤. 基于 Kalman 滤波的 InSAR 基线估计方法. YX, 12(1): 23-27.
- 洪日昌,吴秀清,刘媛等. 低分辨率遥感影像中道路的全自动提取方法研究. YX, 12(1): 36-45.
- 胡利平,刘宏伟,吴顺君. 基于两级 2DPCA 的 SAR 目标特征提取与识别. Dxx, 30(7): 1722-1726.
- 宦若虹,杨汝良,岳晋. 一种合成孔径雷达图像特征提取与目标识别的新方法. Dxx, 30(3): 554-558.
- 纪建,田铮. 极化 SAR 图像相干斑抑制的 ICA 方法与分析. ZTu, 13(8): 1437-1442.
- 李恒超,洪文,吴一戎. 基于尺度空间相关的 SAR 图像 Neigh Shrink 滤波算法. Dxx, 30(8): 1940-1943.
- 李江源,王建国. 基于统计区分度的 SAR 图像干扰评估方法. Dxx, 30(12): 2854-2857.
- 李亚平,杨华,陈霞. 基于 EM 和 BIC 的直方图拟合方法应用于遥感变化检测阈值确定. YX, 12(1): 85-91.
- 李勇,吴华意. 基于形态学梯度的机载激光扫描数据滤波方法. YX, 12(4): 633-639.
- 李禹,计科峰,粟毅. 基于有序数据可变索引的 SAR 图像目标检测方法. Dxx, 30(2): 314-317.
- 李禹,刘军,计科峰等. 高分辨率 SAR 图像机动目标纹理特征提取与分析. Dxx, 30(12): 2800-2808.
- 林殷,李恒超,洪文. 基于数据驱动和统计扩散的树冠提取方法. Dxx, 30(9): 2103-2106.
- 刘宝泉,冯大政,武楠. 干涉合成孔径雷达复图像配准解析搜索方法. SC, 23(6): 646-651.
- 刘小平,黎夏,何晋强等. 基于蚁群智能的遥感影像分类新方法. YX, 12(2): 253-262.
- 卢丽君,廖明生,王腾等. 一种在长时间序列 SAR 影像上提取稳定目标点的多级探测法. YX, 12(4): 561-567.
- 卢晓光,韩萍,吴仁彪等. 基于二维小波变换和独立分量分析的 SAR 图像去噪方法. Dxx, 30(5): 1052-1055.
- 吕孝雷,邢孟道,潘月娥等. 基于联合像素干涉统计特性的二通道动目标检测方法. DX, 36(12): 2319-2323.
- 马丽,田金文. 基于局部能量最大可分的高光谱图像异常检测算法. YX, 12(3): 420-427.
- 毛新华,朱岱寅,李勇等. 环视 SAR 几何失真校正误差分析及补偿技术研究. Dxx, 30(11): 2706-2709.
- 明冬萍,王群,杨建宇. 遥感影像空间尺度特性与最佳空间分辨率选择. YX, 12(4): 529-537.
- 彭石宝,袁俊泉,向家彬. 一种基于加权迭代贪婪算法的 InSAR 相位解缠的新方法. Dxx, 30(6): 1326-1330.
- 祁海明,禹卫东,陈曦. 基于方位向滑窗处理的 SAR 原始数据频域幅相压缩算法. SC, 23(3): 300-305.
- 强永刚,殷建平,祝恩等. 基于小波变换和数学形态学的遥感图像人工建筑区提取. ZTu, 13(8): 1459-1464.
- 申茜,张兵,李俊生等. 航天高光谱遥感器 CHRIS 的水体图像大气校正. CX, 37(4): 476-481.
- 宋珩,王世晔,郁文贤等. HMT 与 HMRF 联合的 SAR 图像小波去斑方法. Dxx, 30(12): 2822-2826.
- 孙楠,王岩飞,张冰尘. 基于无监督分类的多视极化 SAR 相干斑滤波. Dxx, 30(1): 220-223.
- 孙雅敏,殷德奎. 基于 Forman 法对遥感干涉图像进行相位校正的改进. XC, 24(6): 1048-1051.
- 孙造宇,梁甸农,张永胜. 星载 InSAR 复图像多级配准及其误差分析. XC, 24(3): 508-511.
- 汪沛,王岩飞,张冰村等. 一种新的静态小波域干涉相位

图滤波方法. SC, **23**(1):70-74.

- 王隼,杨现松,黄韦潘等.多视处理对 SAR 船只探测的影响. YX, **12**(3):399-404.
  - 王世致,李禹,刘军等.一种基于间隙度特征的 SAR 图像车辆目标鉴别算法. DXX, **30**(8):1944-1948.
  - 王卫威,王正明,谢美华等.基于稀疏约束与性能最优化的 SAR 图像目标增强方法. SC, **23**(3):243-249.
  - 王旭红,郭建明,贾禹俊等.元胞自动机的遥感影像混合像元分类. CX, **37**(1):42-48.
  - 吴波,刘嘉,王宏琦等.一种高分辨率遥感图像目标自动提取方法. DXX, **30**(11):2732-2736.
  - 吴永辉,计科峰,李禹等.利用 SVM 的极化 SAR 图像特征选择与分类. DXX, **30**(10):2347-2351.
  - 吴永辉,计科峰,郁文贤.利用 SVM 的全极化、双极化与单极化 SAR 图像分类性能的比较. YX, **12**(1):46-53.
  - 邢帅,徐青,陆国心等.光学与 SAR 卫星遥感影像复合式“立体”定位技术的研究. CX, **37**(2):172-177.
  - 徐牧,王雪松,肖顺平.基于改善极化相似性的极化 SAR 目标增强新方法. DXX, **30**(5):1047-1051.
  - 徐牧,王雪松,肖顺平等.利用极化方位角特征的高分辨率极化 SAR 目标增强研究. XC, **24**(1):19-23.
  - 薛国义,周智敏.一种新的机载 SAR 回波高阶多项式相位误差提取方法. DXX, **30**(7):1747-1750.
  - 薛国义,周智敏,安道祥.一种适用于机载 SAR 的改进 PACE 自聚焦算法. DXX, **30**(11):2719-2723.
  - 杨健,赵忠明,黄铁青等.汶川地震遥感图像处理与灾难分析. ZTi, **13**(3):151-157.
  - 杨可明,李慧,郭达志.基于最佳小波包基的高光谱影像特征制图. CX, **37**(1):54-58.
  - 杨垒,王彤,邢孟道等.机载多通道 SAR-GMTI 的杂波抑制方法. DXX, **30**(12):2831-2834.
  - 杨磊,刘伟,王志刚.加权全极化 SAR 图像非监督 Wishart 分类方法. DXX, **30**(12):2827-2830.
  - 杨伟,陈晋,宫鹏等.基于相关系数匹配的混合像元分解算法. YX, **12**(3):454-461.
  - 杨志国,黄晓涛,周智敏. SAR 目标检测中的聚类算法改进. ZTu, **13**(11):2132-2138.
  - 杨志国,黄晓涛,周智敏. SAR 目标检测中的一种稳健变化检测算法. DXX, **30**(9):2094-2098.
  - 杨志国,黄晓涛,周智敏.基于多分辨率特征的 UWB SAR 二维广义似然比目标检测方法. YX, **12**(2):239-245.
  - 叶时平,陈超祥,魏玉璋等.基于灰度和纹理特征的 QuickBird 影像中土地利用信息的提取. TX, **29**(8):129-135.
  - 虞欣,郑肇葆,叶志伟等.多级 Bayesian Network 的影像纹理分类方法. YX, **12**(3):442-447.
  - 袁琪,赵荣椿.一种改进的遥感图像变化检测算法. DXX, **30**(11):2737-2741.
  - 曾尚春,朱兆达.一种 SAR 原始数据的变换域编码算法. YX, **12**(3):392-398.
  - 张广伟,张永红.基于链码优化的 SAR 影像城市道路网络提取. YX, **12**(4):620-625.
  - 张辉,王建国.基于目标检测的 SAR 图像匹配算法. DXX, **30**(12):2818-2821.
  - 张辉,王建国.一种基于主分量分析的 SAR 图像变化检测算法. DXX, **30**(7):1727-1730.
  - 张军,高贵,周蝶飞等. SAR 图像机动目标检测的两种 CFAR 算法对比研究. XC, **24**(1):78-82.
  - 张睿,张继贤,李海涛.基于角度纹理特征及剖面匹配的高分辨率遥感影像带状道路半自动提取. YX, **12**(2):224-232.
  - 张文超,王岩飞,潘志刚.合成孔径雷达原始数据 AP-TCQ 压缩算法. SC, **23**(1):89-94.
  - 张文超,王岩飞,潘志刚.基于 2D 实值离散 Gabor 变换的 SAR 原始数据压缩. DXX, **30**(3):569-572.
  - 张亚飞,朱敏慧.基于混沌理论和形态学变换的海面分布目标检测. SC, **23**(2):123-128.
  - 赵力文,周晓光,蒋咏梅等.一种基于 Freeman 分解与散射熵的极化 SAR 图像迭代分类方法. DXX, **30**(11):2698-2701.
  - 赵凌君,匡纲要.基于分水岭变换的高分辨率机载城区 SAR 图像建筑物自动检测方法. DXX, **30**(10):2325-2328.
  - 赵志伟,杨汝良.星载 ScanSAR 干涉处理研究. DXX, **30**(8):1954-1958.
  - 赵志伟,杨汝良,祁海明.一种改进的星载干涉 SAR 复图像最大频谱配准算法. CX, **37**(1):64-69.
  - 郑宏,郑肇葆.基于危险理论的影像纹理调制模板的优化. CX, **37**(1):49-53.
- D6: 其他 (23 篇)**
- 蔡志勇,陈荣,余伏章等.小波变换的多层多道焊接拐角跟踪点的识别研究. ZTu, **13**(12):2344-2350.
  - 高伟,王志衡,赵训坡等.基于 HSI 颜色空间的棉花杂质高速实时检测方法. ZX, **34**(7):729-735.
  - 葛洪伟,杨小艳.组合内核与优化算法在羽绒识别系统中的应用. SC, **23**(2):219-223.
  - 韩宇,夏小牛,邵立康等.基于 CBS 扫描数据的多层表面体绘制. CT, **17**(2):46-50.
  - 黄骥,吴一全.基于颜色对特征点主成分分析的车牌校正方法. ZTu, **13**(4):642-646.
  - 李木国,杜海.自组织映射神经网络在粒子图像匹配中的研究. ZTu, **13**(12):2357-2362.
  - 李鹏阳,郝重阳,祝双武.基于图像连通区域数的刀具磨

损状态特征提取实验研究. ZTu, **13**(8):1476-1480.

- 刘双科,王建飞,司顺阁等. 材料显微组织中的晶界识别与提取. ZTi, **13**(2):134-137.
- 吕佩卓,赖晓铮,赖声礼. 基于小波多分辨率分析的PDF417定位算法. ZX, **34**(5):597-600.
- 钱素琴. 基于最优形态学滤波的面料缝纫加工检测. ZTu, **13**(10):1902-1905.
- 邱兆文,张田文. 文物3维重建关键技术. DX, **36**(12):2423-2427.
- 宋元征,张文强,路红等. 针对机场行李传送监控视频的侵入者检测. ZTu, **13**(10):1955-1958.
- 孙明太,梁跃旋,胡柱喜等. CT在航空深弹结构分析和拆卸中的应用研究. CT, **17**(1):50-55.
- 万峻甫,刘建伟,向怀坤等. 交通视频序列阴影检测算法研究. ZTu, **13**(3):467-471.
- 王金鹤. 一个足球机器人视频跟踪算法. ZTu, **13**(12):2338-2343.
- 王伟莉,曲仕茹. 车辆超车视觉辅助导航系统研究. ZTu, **13**(4):709-715.
- 鲜海滢,李晓峰,李在铭. 基于摄像机的车辆测速仪. DC, **22**(3):94-99.
- 杨夏,于起峰,伏思华等. 一种提取单幅散斑干涉条纹图中心线的可靠方法. ZTu, **13**(7):1335-1341.
- 游建民,陶林. Panda型保偏光纤偏振轴图像识别算法. ZTu, **13**(2):247-250.
- 袁家政,须德,王育坚等. 一种基于网络矢量图形SVG仿真展示光栅图像的有效方法. DX, **36**(1):188-193.

- 张进,王仲,李霞. 微型零件中圆孔的高精度定位方法. DC, **22**(3):47-50.
- 张锁平,张春田. 一种基于分水岭和Radon变换的波向检测方法. DC, **22**(5):38-42.
- 周宁,李在铭,周蓉. 多尺度形态重构的微弱弹道迹检测. DC, **22**(2):26-30.

## E:综述评论(共9篇)

### E1:综述(9篇)

- 陈武凡,秦安,江少峰等. 医学图像分析的现状与展望. ZS, **27**(2):175-181.
- 黄天云. 数字媒体适配过程的一般框架、模型及应用研究. JX, **31**(7):1185-1199.
- 姜睿智,岳秀艳,史廷春等. 面向RP的CT图像处理技术综述. CT, **17**(1):14-20.
- 牛夏软,焦玉华. 感知哈希综述. DX, **36**(7):1405-1411.
- 史元春,高原,肖鑫等. 中国多媒体技术研究:2007. ZTu, **13**(7):1201-1221.
- 宋晓艳. 体视学、图像分析与计算材料学之间的关系及进展. ZTi, **13**(4):280-285.
- 许言午,曹先彬,乔红. 行人检测系统研究新进展及关键技术展望. DX, **36**(5):962-968.
- 杨俊,王润生. 基于计算机视觉的视频火焰检测技术. ZTu, **13**(7):1222-1234.
- 章毓晋. 中国图像工程:2007. ZTu, **13**(5):825-852.